

RUPRECHT-KARLS-UNIVERSITÄT HEIDELBERG

BACHELORARBEIT

---

# Analyse der Relationsvorhersage im Deutschen mithilfe von Wortvektorrepräsentationen

---

*Autor:*  
Dennis ULMER

*Betreuende:*  
Dr. Yannick VERSLEY  
Dr. Viviana NASTASE

*Eine Arbeit zur Erlangung  
des Bachelorgrades*

19. Juli 2016

*„I have not failed. I've just found 10,000 ways that won't work.“*

Thomas A. Edison

RUPRECHT-KARLS-UNIVERSITÄT HEIDELBERG

## *Zusammenfassung*

Neuphilologische Fakultät  
Institut für Computerlinguistik

Bachelor of Arts

### **Analyse der Relationsvorhersage im Deutschen mithilfe von Wortvektorrepräsentationen**

von Dennis ULMER

In sog. *Wissensdatenbanken* wird Wissen über die Beziehungen von Entitäten in dieser Welt beschrieben. Dieses Wissen ist für vielerlei nützlich, um Maschinen das fehlende Weltwissen bei Computersystemen zu kompensieren. Die Erstellung solcher Datenbanken ist jedoch sehr arbeitsintensiv, weshalb sich Bemühungen, diese automatisch zu ergänzen, lohnen können. Diese Abschlussarbeit wirft einen Blick auf verschiedene Ansätze in diesem Bereich und versucht darüber hinaus, ähnliche Verfahren auf der Grundlage von Wortvektorenrepräsentationen, die im Zuge des Deep-Learning-Trends in den letzten Jahren erhöhte Aufmerksamkeit in der NLP-Gemeinschaft erfahren haben, zu verwirklichen.



RUPRECHT-KARLS UNIVERSITY HEIDELBERG

## *Abstract*

Faculty of Modern Languages  
Department for Computational Linguistics

Bachelor of Arts

### **Analysis of relation prediction in German using word vector representations**

by Dennis ULMER

So-called *knowledge bases* contain knowledge about the relations between entities in this world. This knowledge is very useful to compensate the inherent lack of universal knowledge of any computer system. However, the creation of such databases is deemed to be very labour-intensive. Thus, automatic efforts to replenish them might be worthwhile. This thesis aims to compare various approaches in this area and furthermore wants to realize similar procedures based on word embeddings, which gained a lot of popularity in recent years among the NLP community.



## *Danksagung*

The acknowledgments and the people to thank go here, don't forget to include your project advisor. . .





# Inhaltsverzeichnis

<b>Zusammenfassung</b>	<b>iii</b>
<b>Abstract</b>	<b>v</b>
<b>Danksagung</b>	<b>vii</b>
<b>1 Einleitung</b>	<b>1</b>
1.1 Knowledge Graph Completion . . . . .	1
1.2 Ansatz . . . . .	2
1.3 Inhalt . . . . .	3
<b>2 Verwandte Arbeiten</b>	<b>5</b>
2.1 Wortvektorrepräsentationen . . . . .	5
2.2 Vektorrepräsentationen für Wissensdatenbank . . . . .	6
<b>3 Grundlagen</b>	<b>9</b>
3.1 Neurale Netzwerke . . . . .	9
3.2 Wortvektoren . . . . .	11
3.3 Clustering . . . . .	12
<b>4 Vorbereitung</b>	<b>15</b>
4.1 Vorbereitung . . . . .	15
4.1.1 Verwendete Daten . . . . .	15
4.1.2 Aufbereitung des Korpus . . . . .	16
4.1.3 Training der Wortvektoren . . . . .	16
<b>5 Evaluation der Wortvektoren</b>	<b>17</b>
5.1 Evaluation der Wortvektoren . . . . .	17
5.1.1 Qualitative Evaluation . . . . .	17
5.1.2 Quantitative Evaluation . . . . .	18
5.1.3 Evaluationsdaten . . . . .	20
Wortpaarähnlichkeit . . . . .	20
Analogien . . . . .	20
5.1.4 Evaluationsergebnisse . . . . .	20
<b>6 Experiment A: TransE für deutsche Wissensdaten</b>	<b>23</b>
6.1 Datenerzeugung . . . . .	23
6.2 Training . . . . .	24
6.3 Evaluation . . . . .	25
6.4 Zwischenfazit . . . . .	26
<b>7 Experiment B: Relationsvorhersage mit Wortvektorrepräsentatio-</b>	<b>29</b>
<b>nen</b>	<b>29</b>
7.1 Idee . . . . .	29
7.2 Algorithmus . . . . .	29

7.3	Parallelisierter Algorithmus . . . . .	30
7.4	Evaluation . . . . .	31
7.5	Ergebnisse . . . . .	33
7.6	Zwischenfazit . . . . .	33
7.6.1	Daten . . . . .	33
7.6.2	Ansatz . . . . .	35
<b>8</b>	<b>Experiment C: Relationsvorhersage mit Wortvektorrepräsentation</b>	<b>37</b>
8.1	Datenerzeugung . . . . .	37
8.2	Training . . . . .	38
8.3	Evaluation . . . . .	38
8.4	Zwischenfazit . . . . .	38
<b>9</b>	<b>Fazit</b>	<b>41</b>
9.1	Zusammenfassung . . . . .	41
9.2	Diskussion . . . . .	41
9.3	Ausblick . . . . .	42
<b>A</b>	<b>Übersicht über die Parameter zum Trainieren der Wortvektoren</b>	<b>43</b>
<b>B</b>	<b>Evaluationen der Wortvektoren</b>	<b>45</b>
	<b>Literatur</b>	<b>47</b>

# Abbildungsverzeichnis

2.1	Übersicht über verschiedene Arten der Vektorrepräsentationen für Wissensdatenbanken . . . . .	6
3.1	Mathematische Modellierung eines Neurons . . . . .	9
3.2	Darstellung eines neuronalen Netzwerks . . . . .	10
3.3	Gegenüberstellung von Skip-Gram und CBOW . . . . .	11
3.4	Darstellung der Funktionsweise von DBSCAN . . . . .	13
4.1	Übersicht über verwendete vorgefertigte Datensets . . . . .	15
5.1	Listen der $k$ nächsten Nachbarn von Wörtern in verschiedenen Datensets. Inspiriert von (Collobert et al., 2011). . . . .	18
5.2	Anzahl der Annotatoren und Agreement (als <i>Cohen's <math>\kappa</math></i> ) der WORTPAAR-Evaluationsdatensets. . . . .	20
5.3	Evaluationsergebnisse der besten Vektordatensets . . . . .	21
6.1	Daten über die Relationsdatensets FB15k und GER14k . . . . .	24
6.2	Resultate für TransE mit FB15k und GER14k . . . . .	26
7.1	Einfacher Projektionsalgorithmus . . . . .	29
7.2	Modifizierter Projektionsalgorithmus . . . . .	30
7.3	Parallelisierter Projektionsalgorithmus . . . . .	31
7.4	Rechenzeiten für den Mappingschritt nach Anzahl von Threads . . . . .	32
7.5	Auszug aus verschiedenen Wortpaarclustern . . . . .	33
7.6	Dreidimensionale Projektionen einiger durch das Mappingverfahren resultierender Vektorräume . . . . .	35
8.1	Daten des neuen Relationsdatensets im Vergleich zu FB15k und GER14k . . . . .	37
8.2	Resultate auf mit Wordvektoren auf WE3k . . . . .	38
A.1	Quelle und Trainingsparameter für Wortvektoren . . . . .	43



# Kapitel 1

## Einleitung

*"Weltwissen beschreibt das einem Individuum verfügbare allgemeine Wissen, Kenntnisse und Erfahrungen über Umwelt und Gesellschaft. [...] Das Weltwissen ermöglicht es, neue Tatsachen einzuordnen und entsprechend zu handeln, auch wenn detaillierte Informationen fehlen. [...]"*

*Auch in der Robotik [und KI-Forschung; Anm. des Autors] spielt Weltwissen [...] eine Rolle, da Computer [...] nicht selbst über Weltwissen verfügen."*

EINLEITUNG DES ARTIKELS ÜBER WELTWISSEN, WIKIPEDIA<sup>1</sup>

### 1.1 Knowledge Graph Completion

Computer sind dem Menschen mittlerweile beim Lösen vielerlei Aufgaben überlegen. Sie rechnen schneller und genauer. Sie können riesige Datenmengen in einem Bruchteil der Zeit verarbeiten, die ein Mensch dafür bräuchte. Die menschliche Überlegenheit beginnt auch in Bereichen zu bröckeln, bei denen der Einsatz von Computern lange für unmöglichkeit: Menschliche Champions scheitern nun gegen Maschinen beim Schach. Zuletzt scheiterte auch der Mensch auch beim Spiel Go gegen ein "intelligentes" System<sup>2</sup>. In anderen Bereichen jedoch hinken die Maschinen den Prognosen hinterher. Viele dieser Bereiche haben dabei eines gemeinsam: Die Anforderung an das System, nicht nur einfache Rechenoperationen auszuführen, sondern sich ein (ggf. eingeschränktes) Bild von der umgebenden Welt zu machen, Schlüsse zu ziehen und neues Wissen zu Erwerben und passend in den vorhandenen Informationsbestand einzuordnen. Um Probleme für künstliche Intelligenzen lösbar zu machen, wurde bisher aber meist versucht, die Welt um das System herum zu vereinfachen:

<sup>1</sup><https://de.wikipedia.org/wiki/Weltwissen> (zuletzt abgerufen am 03.03.16)

<sup>2</sup>Siehe <http://qz.com/639952/googles-ai-won-the-game-go-by-defying-millennia-of-basic-human-instinct/> (zuletzt abgerufen am 12.07.16)

*"The [...] reason for the fundamental problems of AI in generalis that the models do not take the real world sufficiently into account. Much work in classical AI has been devoted to abstract, virtual worlds with precisely defined states and operations, quite unlike the real world."*<sup>3</sup>

EUROPEAN NETWORK FOR THE ADVANCEMENT OF ARTIFICIAL  
COGNITIVE SYSTEMS, INTERACTION AND ROBOTICS.

Entwicklungen wie die ersten Fahrten fahrerloser Autos, den Jeopardy-Champion Watson und ähnliche zeigen den Fortschritt in diesem Bereich auf, jedoch ist die Wissenschaft von einer allgemeinen Intelligenz noch weit entfernt. Ein Grund dafür ist das Problem von Computern, dass sie im Gegensatz zum Menschen über kein Weltwissen verfügen, welches letztere sich im Laufe ihres Lebens aneignen. Dabei lernen sie

- wie Objekte in der Realwelt zueinander in Beziehung stehen
- welche Attribute von verschiedenen Objekten besessen werden
- Zusammenhänge zwischen Ereignissen zu verstehen
- Pläne zu schmieden und sich Stragien zurechtzulegen
- ...

Ersteres wird in der Informatik durch sog. *Ontologien* (= formale Darstellung einer Beziehung zwischen Elementen einer Menge) modelliert. Zieht man zwischen den Entitäten in der Welt nun derartige Ontologien, entsteht ein Graph, in dem die Beziehungen der Knoten untereinander mithilfe verschiedener Arten von Kanten kodiert sieht, dem *Knowledge Graph*. Die Vervollständigung ebendieses ermöglicht Systemen, die langwierige menschliche Erlernung dieses Wissens zu kompensieren. In dieser Arbeit soll deshalb ein Ansatz vorgestellt werden, der die Lösung diesen Problems einen kleinen Schritt näherbringen könnte.

## 1.2 Ansatz

Innerhalb der letzten Jahre haben neurale Netze in der Informatik im Allgemeinen und in der Computerlinguistik im Speziellen eine Renaissance erlebt. Mit diesen konnten eine neue Art von Wortvektoren, auf Englisch "word embeddings" trainiert werden, die semantische Information in sich kodierten. Zwar zeigen einige Untersuchung, dass sich dieser Ansatz älteren durchaus sehr ähnlich ist und nicht unbedingt zu besseren Ergebnissen führt, der Aufruhr hat aber eine neue Welle von Forschungen im Bereich der distributionellen Semantik ausgelöst.

Ein oft zitiertes Beispiel für die Ausdruckskraft dieser Vektoren ist das Entdecken von semantischen Relationen hinter einfachen arithmetischen Operationen:

$$\vec{v}(\text{King}) - \vec{v}(\text{Man}) + \vec{v}(\text{Woman}) \approx \vec{v}(\text{Queen})$$

<sup>3</sup>"Problems of Traditional AI", online unter <http://www.eucognition.org/index.php?page=2-3-problems-of-traditional-ai> (zuletzt abgerufen am 12.07.16)

Zwar lassen sich dadurch nicht alle Arten von Relationen aus Wortvektoren extrahieren und beschränken sich die Beispiele bei dieser Herangehensweise auf 1:1-Relationen (1:N-, N:1- sowie N:N-Relationen lassen sich auf andere Art und Weise finden), jedoch lassen sie schon ein gewisses Potenzial erahnen. Eine Reihe von Papern nutzt nun Methoden des maschinellen Lernens, um mithilfe von Trainingsdaten die Differenzvektoren für bestimmte, im Voraus ausgewählte Relationen zu trainieren und die Ergebnisse in einem Testset anzuwenden.

Die Idee, die in dieser Arbeit angegangen werden soll, fußt auf der Hypothese, dass das Trainieren solcher Relationen nicht möglich wäre, wenn sich die Differenzvektoren von Wortpaaren einzelner Relationen nicht ähneln würden, also z.B.

$$\vec{v}(\text{Berlin}) - \vec{v}(\text{Germany}) \approx \vec{v}(\text{Paris}) - \vec{v}(\text{Frankreich}) \approx \vec{v}(\text{Madrid}) - \vec{v}(\text{Spain})$$

Betrachtet man die Abstandsvektoren von Wortpaaren als Punkte in einem eigenen Vektorraum, so müssten theoretisch die Punkte, die zu Ländern und deren Hauptstädten gehören, in diesem Raum nahe beieinander liegen. Dies wiederum könnte man dann insofern ausnutzen, indem man ein Clusteringverfahren anwendet, um diese Gruppen zu identifizieren und die Elemente jeder Gruppe danach mit der entsprechenden Relation in einen Knowledge Graph einzuordnen. Dies hätte zwei Vorteile:

1. Teile des kostenintensiven Dateneinpflagens durch menschliche Hilfe fällt weg
2. Es wird möglich abzuschätzen, welche Relationen in einem Raum von Wortvektoren tatsächlich festgehalten werden (darunter vielleicht auch einige, die man bei vorherigen Experimenten nicht berücksichtigt hatte)

Die Ergebnisse, die diese Prozedur zutage fördert sowie die Fallstricke, die sie mit sich bringt, werden in den nächsten Kapiteln beschrieben. Über jene wird nun ein kleiner Überblick gegeben.

## 1.3 Inhalt

In Kapitel 2 dieser Arbeit sollen verwandte Arbeiten zu diesem Thema vorgestellt werden. Darauf folgt eine Beschreibung der Vorbereitungsschritte, die erforderlich waren (siehe Kapitel 3) sowie eine Charakterisierung der verwendeten Ressourcen. Dabei wird auch auf das Training verschiedener Wortvektoren eingegangen, die in Kapitel 4 auf qualitative und quantitative Art und Weise auf ihre semantische Aussagekraft evaluiert werden.

Das Kapitel Nummer 5 handelt von Mapping-Vorgang, bei dem aus den Wortvektoren in einem neuen Vektorraum Punkte entstehen, die jeweils einem Wortpaar entsprechen. Dabei wird auf das theoretische Verfahren genauso eingegangen wie auch auf den benötigten Algorithmus und notwendige Einschränkungen.

In Kapitel 6 wird der Clustering-Schritt im Bezug auf die Wahl des Algorithmus, seiner Parameter und seiner Skalierbarkeit beschrieben. Daran schließt in Kapitel 7 die Evaluation der entstehenden Cluster an, bevor in Kapitel 8

die Ergebnisse sowie die Möglichkeiten und Grenzen des Verfahrens ausdrücklich diskutiert werden.

Die Arbeit schließt mit einem Fazit (Kapitel 9) und einem Ausblick für auf diese Arbeit aufbauende Untersuchungen an (Kapitel ??).



## Kapitel 2

# Verwandte Arbeiten

### 2.1 Wortvektorrepräsentationen

*Word embeddings* (=“Worteinbettungen”) wurden zuerst von (Bengio et al., 2006) noch vor dem erneuten Deep-Learning-Boom 2006 präsentiert. Im Vergleich zu vorherigen Arbeiten mit sog. “One-Hot”-Vektoren, bei denen jede Dimension einem Wort des Vokabulars eines Korpus zugeordnet ist und nur eine davon den Wert 1 besitzt (gewöhnlich besitzen alle anderen den Wert 0), sind Informationen über ein Wort in dieser Repräsentation für den Menschen uneindeutig und kontinuierlich über den Vektor verteilt (“distributed representation”), woher sich auch der Name des dazugehörigen Forschungsfeldes - der distributionellen Semantik - herleitet. Dies ist aber eigentlich nur die Folge eines viel grundlegeren Unterschied der Methodik, der von (Baroni, Dinu und Kruszewski, 2014) weiter ausgeführt: Lange hatte man sich mit zählbasierten Methoden beschäftigt, um solche Repräsentationen zu erstellen; mit (Bengio et al., 2006) hielten vorhersagebasierte Methoden schließlich Einzug.

Diese fußt auf der *Distributional hypothesis*, die besagt, dass Worte, die in ähnlichen Kontexten auftauchen, dazu tendieren, eine ähnliche Bedeutung zu haben (Harris, 1954). Diese Besonderheit macht sich (Bengio et al., 2006) zunutze, da das neurale Netz, mit denen die Wortvektorrepräsentationen trainiert werden, sich beim Bewegen durch einen Trainingskorpus ein mehrwortiges Kontextfenster um ein Zielwort herum verwendet. Das System lernt, die Wortvektoren an häufig vorkommende Wortkontexte anzupassen. Solbige besitzen zudem weitere nützliche Eigenschaften, die in Kapitel 3 beschrieben werden.

Diese Forschungsarbeit löste eine Welle weiterer Forschungen in diesem Gebiet aus, da gezeigt werden konnte, dass diese Art der Wortrepräsentationen genutzt werden konnte, die Leistungen von Systemen selbst im Bezug auf lange bekannte und erforschte Probleme der Computerlinguistik signifikant verbessern konnte. Exemplarisch sei hier die Arbeit von (Collobert et al., 2011) genannt, die so neue Ansätze für PoS-Tagging, Named-Entity-Recognition, Chunking und Semantic Role Labeling präsentieren.

Weitere Untersuchungen beschäftigen sich u. A. mit bilingualen Repräsentationen für maschinelle Übersetzung (Zou et al., 2013), deren Training auf der Basis von einem dependenzgeparsten Korpus (Levy und Goldberg, 2014), dem Optimieren der Parameter (Levy, Goldberg und Dagan, 2015) u.v.m.

## 2.2 Vektorrepräsentationen für Wissensdatenbank

Entitäten und Relationen aus Wissensdatenbanken mithilfe eigener Vektoren zu repräsentieren wurde bereits von einigen Forschungsarbeiten in Angriff genommen: Als einer der ersten Ansätze versuchen (Bordes et al., 2011), symbolische Wissensrepräsentationen in einen Vektorraum einzubetten und so für die Künstliche-Intelligenz-Forschung leichter nutzbar zu machen. Diese sog. *Structured Embeddings* (SE) werden mithilfe von neuronalen Netzwerken trainiert. Darauf aufbauend präsentieren (Bordes et al., 2013) einen etwas simpleren Ansatz namens *TransE*, der darauf abzielt, Relationen zwischen Entitäten als eine einfach vektorarithmetische Operation (= Übersetzung) zu sehen. Diese Vorgehensweise wird in Kapitel 6 etwas genauer ausgeführt und deren Ergebnisse für einen deutschsprachigen Datensatz repliziert.

MODELL	SCORING-FUNKTION
<i>TransE</i>	$f_r(h, t) = \  h + r - t \ _2^2$
<i>TransH</i>	$f_r(h, t) = \  h_{\perp} + r - t_{\perp} \ _2^2$
<i>TransR</i>	$f_r(h, t) = \  h_r + r - t_r \ _2^2$ $h_r = hM_r$ $t_r = tM_r$
<i>CTransR</i>	$f_r(h, t) = \  h_{r,c} + r_c - t_{r,c} \ _2^2 + \alpha \  r_c - r \ _2^2$ $h_{r,c} = hM_r$ $t_{r,c} = tM_r$

### Erklärung der Parameter

- $(h, r, t)$ : Relationstripel bestehend aus einer Kopf- ( $h$ ) und Fußentität ( $t$ ) sowie einer Relation  $r$
- $f_r(\cdot, \cdot)$ : Scoringfunktion zweier Entitäten für eine Relation  $r$
- $h_{\perp}, t_{\perp}$ : Projektionen zweier Entitätsvektoren auf eine Ebene
- $M$ : Projektionsmatrix
- $(h_{r,c}, r_c, t_{r,c})$ : Relationstripel mit auf ein Subcluster einer Relation trainieren Vektorrepräsentationen
- $\alpha$ : Gewichtsparameter zur Einschränkung für den Abstand einer Subrelation zur Hauptrelation

**Abbildung 2.1:** Übersicht über verschiedene Arten der Vektorrepräsentationen für Wissensdatenbanken Für *TransE* (Bordes et al., 2013), *TransH* (Wang et al., 2014), *TransR* und *CTransR* (Lin et al., 2015) werden die verschiedenen Scoringfunktionen gegenübergestellt und vorkommende Parameter erklärt.

Diese Idee wird weiter von (Wang et al., 2014) vorangetrieben: Um nicht nur 1:1- sondern auch 1:n-, n:1- und m:n-Relationen abzubilden, werden Punkte in einem Vektorraum auf eine für jede Relation separat gelernte Ebene projiziert, woher sich der Name des Verfahrens *TransH*, herleitet.

Um die Vektorräume von Entitäten und Relationen zu trennen, stellen (Lin et al., 2015) *TransR* und *CTransR* vor. Für Ersteres wird für jede Relation eine Projektionsmatrix gelernt, die Entitäten in den jeweiligen Relationsvektorraum übersetzt. Bei Letzterem werden für jede Relation mehrere Vektoren trainiert, um der Unterschiedlichkeit im Kontext anderer Entitäten gerecht zu werden. Eine Übersicht über die Bewertungsfunktionen aller Verfahren findet sich in Abbildung 2.1.



# Kapitel 3

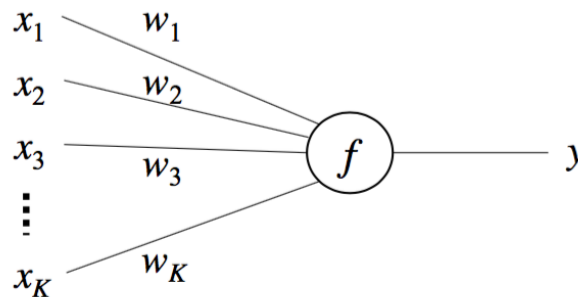
## Grundlagen

*To deal with hyper-planes in a 14-dimensional space, visualize a 3-D space and say “fourteen” to yourself very loudly. Everybody does it.*

UNKNOWN

### 3.1 Neuronale Netzwerke

Wie der Name bereits errahnen lässt, fußt die Idee von neuronalen Netzwerken auf einer mathematischen Modellierung des menschlichen Gehirns (siehe Abbildung 3.1). Die Grundbausteine bilden dabei einzelne Neuronen, die dabei auf folgende Art und Weise modelliert werden (dieser Teil ist dabei auch als *Perceptron*-Algorithmus bekannt):



**Abbildung 3.1:** Mathematische Modellierung eines Neurons, auch bekannt als *Perceptron*-Algorithmus.  $x$  bezeichnet In-,  $y$  den Output des Neurons,  $w$  bilden die Gewichte und  $f$  die Aktivierungsfunktion. Abbildung aus (Rong, 2014).

Der Analogie der menschlichen Nervenzelle folgend erhält das Neuron mehrere Inputs in Form eines Vektors  $x$  mit  $K$  Dimensionen. Der Output erhält die Bezeichnung  $y$ . Um den Output zu bestimmen enthält die Zelle eine Aktivierungsfunktion  $f$  (um zu bestimmen, wann das Neuron “feuert”):

$$y = f(u) \quad (3.1)$$

$u$  bezeichnet dabei einen Skalar, dem man durch das Summieren der mit  $w$  gewichteten Inputs erhält:

$$u = \sum_{i=0}^K w_i x_i = w^T x \quad (3.2)$$

Für die Aktivierungsfunktion  $f$  bieten sich mehrere Optionen. Ursprünglich wurde die *Heaviside step function* oder *Rectifier (ReLU)* gewählt:

$$f(u) = \begin{cases} 1 & \text{if } u > 0 \\ 0 & \text{otherwise} \end{cases} \text{ bzw.} \quad (3.3)$$

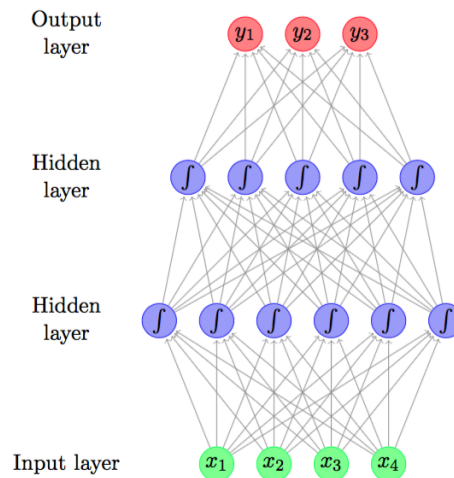
$$f(u) = \max(0, u) = \begin{cases} 0 & \text{if } u < 0 \\ u & \text{otherwise} \end{cases} \quad (3.4)$$

Andere Funktionen sind z.B. *sigmoid* ( $\sigma(u) \in [0, 1]$ ) und *tanh* ( $\tanh(u) \in [-1, 1]$ ), im Gegenteil zu den beiden zuvor sind diese durch ihre s-förmige Form kontinuierlich und dadurch ableitbar:

$$\sigma(u) = \frac{1}{1 + e^{-u}} \quad (3.5)$$

$$\tanh(u) = \frac{e^{2u} - 1}{e^{2u} + 1} \quad (3.6)$$

Um aus einzelnen Neuronen nun ein neuronales Netzwerk zu kreieren, werden mehrere Schichten erstellt (i.d.R. eine Eingabe- (*input layer*), eine Ausgabe- (*output layer*) und min. eine “versteckte” Schicht (*hidden layer*). Die Schichten bestehen dann aus mehreren Nervenzellen, wobei jede Zelle mit jeder anderen Zelle der vorhergehenden und folgenden Schicht vernetzt ist (siehe Abbildung 3.2).



**Abbildung 3.2:** Darstellung eines neuronalen Netzwerks mit vier Schichten, davon jeweils eine für In- und Output, sowie zwei “versteckte” Schichten (*hidden layer*). Bild aus (Goldberg, 2015).

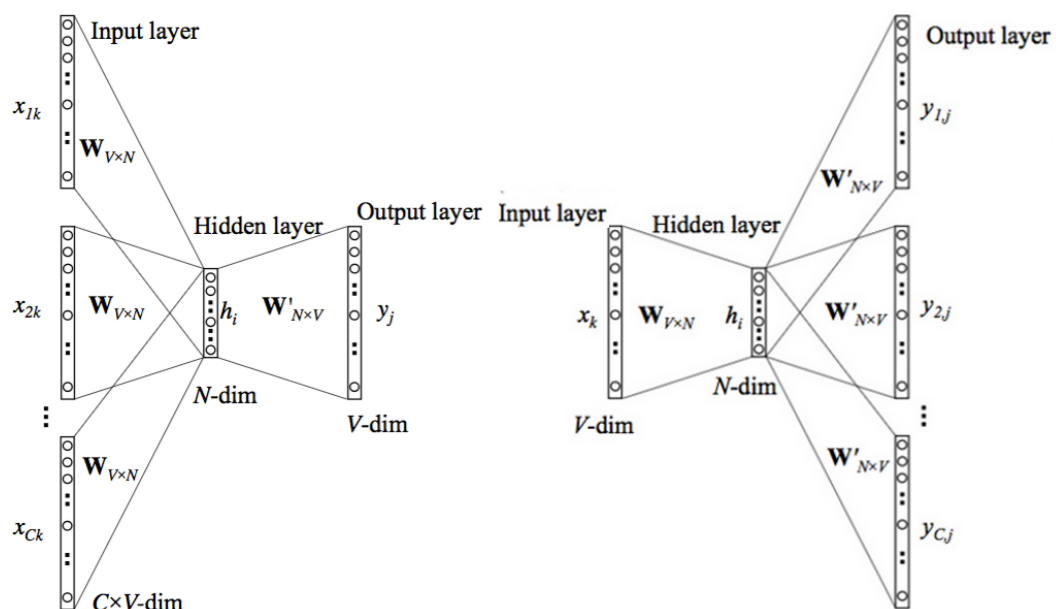
Die einzelnen Gewichtsvektoren  $w$  aller Neuronen einer Schicht werden dann zu einer Gewichtsmatrix  $W$  zusammengefasst, wobei jede Zeile einem Gewichtsvektor entspricht. Zum Training dieser Strukturen wird der sog. *Backpropagation*-Algorithmus verwendet, der mithilfe einer vorher definierten Verlustfunktion (die anzeigt, inwiefern das durch das Netzwerk erzeugte Ergebnis von dem erwünschten Ergebnis abweicht) einen Fehler errechnet und diesen dann rekursiv durch alle Schichten des Netzwerks zurückgibt und simultan die Werte innerhalb der Gewichtsmatrizen anpasst.

## 3.2 Wortvektoren

Frühere Experimente mit Wortvektoren arbeiteten meist mit sog. “One-Hot”-Vektoren, bei denen jede Dimension i.d.R. einem bestimmten Wort zugeordnet wurde. Nehmen wir beispielsweise das Minikorpus *Der Hund beißt den Mann* an. Das Vokabular besteht dann aus  $V = \{\text{beißt}, \text{Der}, \text{den}, \text{Hund}, \text{Mann}\}$  (in alphabetischer Reihenfolge). Um jedes dieser Wörter als einen der oben genannten Vektoren zu repräsentieren, können wir Vektoren der Länge  $V$  ( $V$  steht eigentlich für  $\|V\|$ , wird der Übersicht halber aber im Folgenden stellvertretend dafür verwendet) benutzen. Um nun zum Beispiel einen Vektor für *Hund* zu generieren, setzen wir den Wert der Stelle des Vektors ( $=$  Feature) auf 1, der dem Index von *Hund* in  $V$  entspricht, also  $\vec{v}(\text{Hund}) = (0, 0, 0, 1, 0)$ .

Diese Art von Wortvektor wird gemeinhin als “sparse”, also spärlich bezeichnet, da sie relativ wenig Information enthält. Wortvektoren, die mithilfe von Neuralen Netzwerken trainiert werden (im Englischen zur Abgrenzung *word embeddings* genannt), beinhalten mehr (semantische) Informationen über das dazugehörige Wort, zudem lassen sich einzelne Features nicht mehr auf eindeutig auf bestimmte Worte zurückführen.

Das Training dieser neuen Wortvektoren läuft folgendermaßen ab: Als Input fungieren die erwähnten “One-Hot”-Vektoren, welche genau so viele Dimensionen wie Worte im Vokabular besitzen ( $\vec{v} \in \mathbb{R}^V$ ). Die Modelle bestehen aus drei Schichten, namentlich *Input*, *Hidden* und *Output*. Input und Output besitzen die Dimensionalität von  $V$ , Hidden die von  $N$ .



**Abbildung 3.3:** Gegenüberstellung der beiden Trainingsmethoden CBOW (links) und Skip-Gram (rechts). CBOW versucht die Wahrscheinlichkeit eines Wortes gegeben seines Kontextes zu trainieren, Skip-Gram die Wahrscheinlichkeit eines Kontextes gegeben eines Wortes.

Zwischen Input und Hidden liegt die Gewichtsmatrix  $W$  und zwischen Hidden und Output die Matrix  $W'$ . CBOW versucht, die Wahrscheinlichkeit

eines Wortes gegeben eines Kontextes der Größe  $C$  zu maximieren (Kontext bezieht sich in diesem Fall auf die Summe der rechts und links vom Eingabewort stehenden Wörter, siehe Abbildung 3.3). Unsere Verlustfunktion, deren Wert es dabei zu minimieren gilt, besteht darin in der negativen logarithmischen Wahrscheinlichkeit eines Wortes gegeben seines Kontextes:

$$E = -\log p(w_O | w_{I,1}, \dots, w_{I,C}) \quad (3.7)$$

Beim Skip-gram-Modell verhält sich das Ganze genau umgekehrt, es wird versucht, den Kontext gegeben eines Eingabewortes vorherzusagen:

$$E = -\log p(w_{I,1}, \dots, w_O) \quad (3.8)$$

In beiden Fällen wird daraufhin überprüft, ob die Vorhersage mit den tatsächlichen Daten übereinstimmt und die Abweichung errechnet, mit der dann die Parameter der Gewichtsmatrizen  $W$  und  $W'$  rekursiv angepasst werden, um zukünftige Prognosen zu verbessern, wofür der *Backpropagation*-Algorithmus verwendet wird. Die Wortvektoren, die dann nach dem Abarbeiten aller Trainingsdaten resultieren, sind dann die Zeilen von  $W'$ , wobei die  $i$ -te Zeile der Matrix dem Wortvektor des Wortes mit dem Index  $i$  im Vokabular entspricht.

Eigentlich erfordert das Training eine aufwendige Berechnung über alle Wörter des Vokabels, was der Skalierbarkeit dieses Verfahrens entgegensteht. Der Aufwand kann allerdings durch Techniken wie *Hierarchisches Softmax*, bei dem der Aufwand durch einen binären Baum von  $O(V)$  auf  $O(\log V)$  reduziert wird sowie *Negativem Sampling*. Bei letzterem werden "schlechte" (also Negativ-)Beispiele zum Training hinzugezogen, woher sich auch der Name des Verfahrens ableitet.

### 3.3 Clustering

*Clustering* bezeichnet eine Art von unüberwachten maschinellen Lernen, die versucht, Elemente, die nach vorher definierten Maßgaben als ähnlich erachtet werden sollen, zu gruppieren.

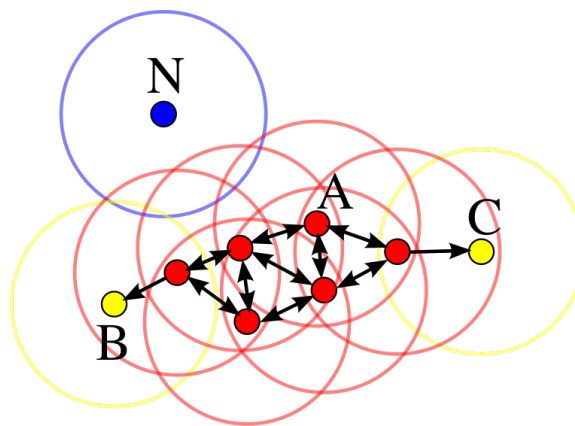
Die Literatur zu diesem Thema bietet dabei eine Fülle von Algorithmen mit verschiedenen Grundannahmen, aus denen es zu wählen gilt. Für die Aufgaben in dieser Arbeit wurde der DBSCAN-Algorithmus (**D**ensity-**B**ased **S**patial **C**lustering of **A**pplications with **N**oise) gewählt, da er folgende Kriterien erfüllt:

- DBSCAN erlaubt es, dass nicht alle Datenpunkte bei der Terminierung des Algorithmus einem Cluster zugeordnet sein müssen (*Outlier detection*)
- Die Anzahl der Cluster muss bei Beginn des Algorithmus nicht festgelegt werden.
- Cluster werden nicht nach der räumlichen Distanz zwischen den Punkten gebildet, sondern nach deren Dichte im Raum. Dies lässt auch nicht-sphärische Clusterformen zu.

Zur Erklärung von DBSCAN müssen zuerst einige Definitionen erstellt werden (siehe Abbildung 3.4 zur visuellen Darstellung):



- Ein Punkt  $p$  in den Daten wird dann als Kernpunkt (*core point*) bezeichnet, sofern mindesten  $minPts$  Punkte innerhalb einem Radius  $\epsilon$  vorhanden sind.  
Diese Punkte sind von  $p$  *direkt erreichbar*.
- Ein Punkt  $q$  ist von  $p$  erreichbar, sofern es einen Pfad  $p_1, \dots, p_n$  mit  $p_1 = p$  und  $p_n = q$  gibt, wobei jeder Punkt  $p_{i+1}$  von einem Punkt  $p_i$  direkt erreichbar ist.
- Alle Punkte, die nicht von einem anderen Punkt aus direkt erreichbar sind, sind Ausreißer (*Outlier*).
- Zwei Punkte  $p$  und  $q$  sind *direkt verbunden*, sofern es einen Punkt  $o$  gibt, von dem aus beide Punkte direkt erreichbar sind.
- Cluster bestehen aus Punkten, die alle miteinander direkt verbunden sind.



**Abbildung 3.4:** Darstellung der Funktionsweise von DBSCAN. Punkt A ist ein Kernpunkt, die Punkte B und C sind von A aus erreichbar. Punkt N ist nicht erreichbar und damit ein Ausreißer.<sup>4</sup>

Der Algorithmus ist von linearer Komplexität, sofern ihm eine geeignete Indexierung der Daten zugrunde gelegt wird, ansonsten verhält sich die Komplexität quadratisch zur Anzahl der Datenpunkte<sup>5</sup>.

<sup>4</sup>Abbildung von Chire - Eigenes Werk, CC BY-SA 3.0, <https://commons.wikimedia.org/w/index.php?curid=17045963> (zuletzt abgerufen am 25.04.16).

<sup>5</sup>Bei der `scikit-learn`-Implementation wird beispielsweise ein Nearest-Neighbour-Graph verwendet: <http://scikit-learn.org/stable/modules/generated/sklearn.cluster.dbSCAN.html> (zuletzt abgerufen am 25.04.16)



## Kapitel 4

# Vorbereitung

### 4.1 Vorbereitung

Für die nachfolgenden Experimente in den Kapiteln 5, 6, 7 und 8 mussten einige Daten zuerst beschafft und unter Umständen aufbereitet werden. Die ergriffenen Maßnahmen werden deshalb in diesem Kapitel beschrieben.

#### 4.1.1 Verwendete Daten

Die anfangs verwendeten Daten lassen sich grob in vier Kategorien einteilen: Den Korpus, das Relationsdatenset, Wortähnlichkeitslisten sowie Analogie-datensets (siehe Abbildung 4.1).

Als Korpus wurde der DECOW14X-Korpus verwendet. Genaueres über dessen Beschaffenheit und Vorverarbeitung für das Training von Wortvektoren werden in 4.1.2 und 4.1.3 beschrieben.

Art	Name	Beschreibung	Quelle
Korpora	DECOW14X	Deutschesprachiger Webkorpus	(Schäfer und Bildhauer, 2012)
Relationsdaten	FB14K	592k Relationstriple aus Freebase	(Bordes et al., 2013)
Wortähnlich- keiten	SCHM280	280	nach Ähnlichkeit be- wertete Wortpaare (Köper, Scheible und Walde, 2015) (Rubenstein und Goodenough, 1965)
	WORTPAARE65	65	
	WORTPAARE222	222	
	WORTPAARE350	350	
Analogien	GOOGLE	Datenset mit 18.552 Analogien	(Köper, Scheible und Walde, 2015)
	SEMREL	Datenset mit 2.462 Analogien	

**Abbildung 4.1:** Übersicht über in dieser Arbeit verwendete, extern generierte Datensets sowie deren Quelle.

Relationsdaten aus FREEBASE wurden im Datenset FB14K von (Bordes et al., 2013) gesammelt. Diese werden vor allem in den Versuchen von Kapiteln 6 und 8 relevant.

Alle anderen Datensets sind zur Evaluation der Wortvektoren in Kapitel 5 angedacht: Die Sets SCHM280, WORTPAARE65, WORTPAARE222 und WORTPAARE350 bestehen aus einer Reihe von Wortpaaren, die von menschlichen Annotatoren auf verschiedenen Skalen nach Ähnlichkeit bewertet wurden. GOOGLE<sup>6</sup> und SEMREL sind in verschiedene Kategorien eingeteilte Analogiepaare der Form “W verhält sich zu X wie Y zu Z”. Bei der Evaluation wird dann die Fähigkeit eines Systems mit Wortvektoren getestet, diese korrekt zu vervollständigen, wenn Z nicht gegeben ist.

<sup>6</sup>Eigentlich: GOOGLE SEMANTIC/SYNTACTIC ANALOGY DATASETS

### 4.1.2 Aufbereitung des Korpus

Als Textressource wurde das DECOW14X-Korpus (DE = Deutsch, COW = “**C**orpus from the **W**eb”) verwendet. Dieses Korpus von (Schäfer und Bildhauer, 2012) besteht aus 21 Texten, die in den Jahren 2011 und 2014 von deutschsprachigen Internetseiten gecrawled und aufbereitet wurden. Dies beinhaltet PoS-Tagging, Chunking, Lemmatisierung, das Markieren von Eigennamen (Named Entities) und dem Hinzufügen von Metadaten. Die Sätze liegen darin im CoNLL-Format<sup>7</sup> vor, wobei jedem Wort und dessen Annotationen eine ganze Zeile gewidmet ist, Stazgrenzen werden durch XML-Tags getrennt. Summa summarum enthält das Korpus 624.767.747 Sätze mit 11.660.894.000 Tokens.

Für diese Arbeit wurden auf Basis der Ressource drei Version für das Training der Wortvektoren erstellt:

- Eine Datei mit den originalen Tokens durch Leerzeichen getrennt, je ein Satz pro Zeile.
- Eine Datei mit den lemmatisierten Tokens durch Leerzeichen getrennt, je ein Satz pro Zeile.

### 4.1.3 Training der Wortvektoren

Wortvektoren werden mithilfe des Tools *word2vec* und zwei verschiedenen Modellen trainiert: Continuous-Bag-of-Words (CBOW) und Skip-Gram. Das CBOW-Model wurde zuerst von (Mikolov et al., 2013) vorgestellt. Die Erklärung der Funktionsweise wird im nachfolgenden Teil recht klein gehalten, für eine ausführlichere und verständliche Ausführung wird beispielsweise die Arbeit von (Rong, 2014) empfohlen.

Zum Training der Vektoren wurde das C-Tool *Word2Vec* von (Mikolov et al.) verwendet. Als Eingabe benötigt es eine Textressource, die einen Satz pro Zeile enthält, Tokens durch Leerzeichen getrennt und gibt die Wortvektoren entweder einem einfach Text- oder Binärformat aus.

Das Tool lässt zudem dem Nutzer offen, einige Parameter zu verändern. Jene, die in dieser Arbeit berücksichtigt wurden, sollen dabei näher erläutert werden:

- `-sample`  
Die Wahrscheinlichkeit, mit der hochfrequente Worte
- `-cbow`  
Bestimmt, welche Trainingsmethode verwendet wird (0  $\hat{=}$  Skip-gram, 1  $\hat{=}$  Continuous-Bag-of-Words)
- `-negative`  
Anzahl von negativen Beispielen beim Training.

Zwar bietet das Tool auch noch andere Parameter, jedoch soll aufgrund mit der Empfehlungen in (Levy, Goldberg und Dagan), in der eine große Anzahl von Konfigurationen ausprobiert wurde, im Rahmen dieser Arbeit nur mit den oben genannten Werten experimentiert werden.

<sup>7</sup>Siehe <http://ilk.uvt.nl/conll/> (zuletzt abgerufen am 11.04.16)

## Kapitel 5

# Evaluation der Wortvektoren

*[Y]ou'll see that there are a lot of pairings where words with similar meanings are nearby. [...] On the other hand, there's a lot of junk. [...] You'd want the closest word to "grandma" to be "grandpa", not "gym."*

BEN SCHMIDT ÜBER DAS PLOTTEN VON WORD EMBEDDINGS IN  
ZWEI DIMENSIONEN<sup>8</sup>

### 5.1 Evaluation der Wortvektoren

An dieser Stelle sollen die verschiedenen Ansätze zum Trainieren von Wortvektoren, die im vorherigen Kapitel vorgestellt werden, miteinander verglichen werden. Zu diesem Zweck sollte zuerst eine Frage gestellt werden: Was macht eine Menge von Wortvektoren “besser” bzw. “schlechter” als andere? Da der Vorteil von Wortvektoren darin besteht, semantische Informationen zu beinhalten, wird diese Frage meist dahingehend beantwortet, dass Vektoren dann als überlegen an zu sehen sind, wenn sie eine höhere semantische Ausdruckskraft besitzen. Um dies festzustellen, haben sich in Veröffentlichungen zu diesem Thema bestimmte Vorgehensweisen durchgesetzt, die in den folgenden Abschnitten, vorgestellt, erläutert, angewendet und kritisch reflektiert werden sollen.

#### 5.1.1 Qualitative Evaluation

Qualitative Verfahren zur Evaluation sind meist recht simple Ansätze, die für das menschliche Auge leicht zu interpretierbare Ergebnisse liefern. Deshalb sind sie für einen ersten Ausdruck auch durchaus geeignet, sollten wenn möglich aber nicht als alleinige Kriterium für eine Bewertung hinzugezogen werden, da sie meistens nie die Gesamtheit aller in den Ergebnissen enthaltenen Informationen darstellen können.

Im Beispiel der Wortvektoren werden beispielsweise einige Wörter des Vokabulars stellvertretend ausgewählt und zu diesen die  $k$  nächsten Nachbarn im Vektorraum gesucht. Unter der Annahme, dass in Vektorräumen von Wortvektoren ähnliche Wörter nahe zusammenliegen, sollte diese Liste nah verwandte Begriffe zutage fördern (siehe Abbildung 5.1).

<sup>8</sup>Blogeintrag “Word Embeddings for the digital humanities” von Ben Schmidt (2015), online unter <http://bookworm.benschmidt.org/posts/2015-10-25-Word-Embeddings.html> (zuletzt abgerufen am 21.04.15)

	FRANKREICH	BANK	COMPUTERLINGUISTIK	GEKRATZT
Mark I	BELGIEN	ANLAGEBANK	LINGUISTIK	GEKRAZT
	ITALIEN	(UNKNOWN)_BANK	INFORMATIONSWISSENSCHAFT	WEGGEKRAZT
	NIEDERLAND	BANK	TEXTTECHNOLOGIE	GESCHUBBERT
	NIEDERLANDE	BANKSTATUS	SPRACHWISSENSCHAFT	GEKRATZ
	SPANIEN	GELDINSTITUT	SOFTWARETECHNIK	ABGELECKT
Mark VIII	ITALIEN	HAUSBANK	BIOINFORMATIK	GEKRAZT
	UNGARN	GESCHÄFTSBANK	TEXTTECHNOLOGIE	WEGGEKRAZT
	POLEN	GROSSBANK	INFORMATIONSWISSENSCHAFT	GESCHUBBERT
	SPANIEN	KREDITBANK	SOFTWARETECHNIK	ANGEKNABBERT
	BELGIEN	MUTTERBANK	LINGUISTIK	RAUSGERISSEN
Mark XXII	ITALIEN	KREDITINSTITUT	BIOINFORMATIK	GERITZT
	UNGARN	GELDINSTITUT	WIRTSCHAFTSGEOGRAPHIE	ANGESENGT
	POLEN	SPARKASSE	GRUNDSCHULPÄDAGOGIK	ZUSAMMENGENÄHT
	SPANIEN	LANDESBANK	COMPUTERWISSENSCHAFT	AUFGESPRUNGEN
	BELGIEN	FINANZINSTITUT	HUMANGEOGRAPHIE	TUPFEN

**Abbildung 5.1:** Listen der  $k$  nächsten Nachbarn von Wörtern in verschiedenen Datensets. Inspiriert von (Collobert et al., 2011).

Das Problem bei dieser Methode liegt in der menschlichen Subjektivität: Die präsentierte Auswahl der Begriffe muss nicht zwangsläufig repräsentativ für die restlichen Daten sein und könnte theoretisch aus den wenigen, gut funktionierenden Beispielen bestehen. Darüber hinaus bleibt es in einigen Fällen schwierig, die Ergebnisse verschiedener Datensets zu vergleichen, da sich die Qualität der  $k$  Nachbarn nicht quantifizieren lässt: Es lässt sich vielleicht erkennen, dass diese in einem Fall wenig Sinn machen und im anderen Fall die Erwartungen erfüllen; an anderer Stelle scheinen die Resultate für den Betrachter jedoch nicht unbedingt schlechter, sondern einfach nur anders.

Darum ist wiederum festzuhalten, dass sich qualitative Methoden in diesem Fall eher für den ersten Eindruck eignen, weiterhin aber Prozeduren mit quantifizierbaren Ergebnissen verwendet werden sollten, wie z.B. nächsten Abschnitt 5.1.2 beschrieben werden.

### 5.1.2 Quantitative Evaluation

Bei der quantitativen Evaluation von Wortvektoren werden die folgenden Ideen aufgegriffen:

#### 1. Benchmark-Tests

Bei dieser pragmatischen Art der Bewertung werden wird das Datenset als Grundlage für eine einfache Aufgabe wie Sentiment-Klassifikation oder Part-of-Speech-Tagging verwendet. Die Qualität der Daten wird dann anhand der Ergebnisse des Systems gemessen.

Diese extrinsische Evaluationsmethode macht ergo nur dann Sinn, wenn man mehr als ein Datenset miteinander vergleicht. Dabei muss sichergestellt werden, dass die Tests immer unter den selben Bedingungen ablaufen, damit eine Vergleichbarkeit gewährleistet bleibt.

#### 2. Wortähnlichkeit

Hierbei werden Wortpaaren Ähnlichkeitswerte von menschlichen Annotatoren zugeordnet. Anschließend werden mit den zu Verfügung

stehenden Vektoren Ähnlichkeitswerte für die gleichen Paare berechnet, in der Regel mithilfe der Cosinus-Ähnlichkeit. Diese beschreibt die Ähnlichkeit zweier Vektoren als den Winkel zwischen ihnen, mit einem Wert von  $-1$  ( $\hat{=}$  komplett unterschiedlich) über  $0$  ( $\hat{=}$  orthogonal) und  $+1$  ( $\hat{=}$  Äquivalenz):

$$\cos(\vec{a}, \vec{b}) = \frac{\vec{a} \cdot \vec{b}}{\|\vec{a}\| \|\vec{b}\|} \quad (5.1)$$

Danach kann mit *Spearman's  $\rho$*  bzw. *Spearman's rank correlation coefficient* anschließend festgestellt werden, ob die beiden Werte für die Wortpaare korrelieren, sprich ob das System Paaren, denen von Menschen ein hoher Ähnlichkeitswert zugewiesen wurde auch eine hohe Ähnlichkeit zuschreibt. Dabei ist  $\rho \in [-1, 1]$  den Grad der Korrelation anzeigt, wobei  $-1$  einer starken negativen,  $+1$  einer starken positiven Korrelation entspricht.

### 3. Analogien

Die dritte Methode basiert auf Analogien der Form *a verhält sich zu a\* wie b zu b\**. Die Daten werden nun dahingehend getestet, indem unter Gebrauch der Cosinus-Ähnlichkeit das  $b^*$  aus dem Vokabular  $\mathcal{V}$  gesucht wird, welches besonders ähnlich zu  $b$  und  $a^*$  aber unähnlich zu  $a$  ist:

$$\underset{\tilde{b}^* \in \mathcal{V}}{\operatorname{argmax}} \cos(\tilde{b}^*, b - a + a^*) \quad (5.2)$$

Sind alle Vektoren der Länge eins, so kann diese Gleichung umformuliert werden:

$$\underset{\tilde{b}^* \in \mathcal{V}}{\operatorname{argmax}} \cos(\tilde{b}^*, b) - \cos(\tilde{b}^*, a) + \cos(\tilde{b}^*, a^*) \quad (5.3)$$

Diese Methode wird gemeinhin als 3COSADD bezeichnet. (Autor) etablierten dazu jedoch eine Alternative namens 3COSMUL, die bei Tests bessere Ergebnisse produziert:

$$\underset{\tilde{b}^* \in \mathcal{V}}{\operatorname{argmax}} \frac{\cos(\tilde{b}^*, b) \cos(\tilde{b}^*, a^*)}{\cos(\tilde{b}^*, a) + \epsilon} \quad (5.4)$$

Dabei ist  $\epsilon = 0,001$ , um die Division durch Null zu verhindern.

Der Erfolg der Evaluation kann dann als Anteil der richtig vervollständigten Analogien (bei denen  $\tilde{b}^* = b^*$ ) gemessen werden.

In dieser Arbeit sollen die Datensets durch die zweit- und drittgenannte Methode evaluiert werden. Ein weiterer Fallstrick liegt allerdings in der Zusammenstellung der Datensets: So liefern die genannten nur dann Aussagekräftige Ergebnisse, wenn bei der Wortähnlichkeit die menschlichen Annotatoren zuverlässig und sinnvoll die Paare bewertet haben (zu messen z.B. mit *Cohen's  $\kappa$* ) und bei den Analogien aus der Zusammenstellung ebendieser (welche Entitäten sind enthalten, wie oft kommen diese vor, welche semantische Relationen wurden ausgewählt, wurden diese maschinell oder per Hand erzeugt).

Aus diesem Grund sollen die benutzten Evaluationssets im hierauf folgenden Abschnitt 5.1.3 näher beleuchtet werden.

### 5.1.3 Evaluationsdaten

#### Wortpaarähnlichkeit

Im Englischen wird für die Wortähnlichkeitsevaluation häufig das WORD-SIM353-Datenset verwendet. Dieses wurde unter dem Namen SCHM280 in deutsche portiert, wobei die Paare nicht nur einfach übersetzt, sondern die Ähnlichkeit auch noch von deutschen Muttersprachlern neu bewertet wurde. Es enthält insgesamt 280 Wortpaare.

WORTPAARE65, WORTPAARE222 und WORTPAARE350 entstammen der Arbeit von (Rubenstein und Goodenough, 1965). Dabei werden Wortpaaren Werte von 0 ( $\hat{=}$  vollkommen unzusammenhängend) bis 4 ( $\hat{=}$  stark zusammenhängend) bewertet. Die Anzahl der menschlichen Annotatoren sowie deren Übereinstimmung sind in Abbildung 5.2 festgehalten.

Datenset	#Annotatoren	$\kappa$
WORTPAARE65	24	0,81
WORTPAARE222	21	0,49
WORTPAARE350	8	0,69

**Abbildung 5.2:** Anzahl der Annotatoren und Agreement (als *Cohen's  $\kappa$* ) der WORTPAAR-Evaluationsdatensets.

#### Analogien

Die GOOGLE SEMANTIC/SYNTACTIC ANALOGY DATASETS wurden von (Mikolov et al., 2013) eingefügt und bestehen aus Analogien der Form *a verhält sich zu a\* wie b zu b\**. (Köper, Scheible und Walde, 2015) haben diese manuell übersetzt und durch drei menschliche Prüfer validieren lassen. Dabei wurde die Kategorie "adjektiv - adverb" fallengelassen, da sie im Deutschen nicht existiert, weshalb 18.552 Analogien übrigbleiben. Diese werden im Folgenden einfach als GOOGLE bezeichnet.

SEMREL wurde aus Synonomie-, Antonomie- und Hypernomie-Beziehungen von (Köper, Scheible und Walde, 2015) für das Deutsche und Englische konstruiert. Dabei werden Substantive, Verben und Adjektive berücksichtigt. In der deutschen Variante sind 2.462 (recht schwierige) Analogien enthalten, die aus teilweise sehr seltenen Wörter kreiert wurden.

### 5.1.4 Evaluationsergebnisse

Im Folgenden sollen die Ergebnisse der Wortvektor-Evaluation diskutiert werden. Am Ende dieses Abschnitts werden dabei nur die Datensets mit den besten Ergebnissen und deren Konfiguration von Parametern vorgestellt, eine ausführliche Übersicht findet sich jedoch im Appendix B.

Bei der Evaluation war zuallererst festzustellen, dass sowohl bei Datensets, die auf dem normalen oder lemmatisierten Korpus trainiert wurden, Ergebnisse mit steigender Downsamplingrate schlechter wurden. Dies war sowohl bei Training mit dem CBOW- als auch mit dem Skip-Gram-Modell feststellbar. Darüber hinaus lieferte Letzteres im Schnitt bessere Resultate



DATENSET	WORTPAARE65	WORTPAARE222	WORTPAARE350	SCHM280
Mark I	<b>-0,8096</b>	<b>-0,4640</b> <sub>(13)</sub>	<b>-0,7302</b> <sub>(13)</sub>	<b>-0,7094</b> <sub>(2)</sub>
Mark XIII	<b>-0,8247</b> <sub>(1)</sub>	<b>-0,5066</b> <sub>(102)</sub>	<b>-0,7494</b> <sub>(132)</sub>	<b>-0,7097</b> <sub>(48)</sub>
Mark XIV	<b>-0,8106</b> <sub>(1)</sub>	<b>-0,4953</b> <sub>(102)</sub>	<b>-0,7362</b> <sub>(132)</sub>	<b>-0,7205</b> <sub>(48)</sub>

DATENSET	GOOGLE	SEMREL
Mark I	<b>44,56</b>	1,71
Mark XIII	15,51	<b>3,01</b>
Mark XIV	14,51	2,56

**Abbildung 5.3:** Evaluationsergebnisse der fünf besten Vektordatensatz. Oben: Spearman's  $\rho$  für die Wortähnlichkeit mit von menschen gewerteten Wortpaaren. Unten: Treffer beim Vervollständigen von Analogien in Prozent. Nicht gefundene Wortvektoren klein in Klammern hinter dem Wert. Für eine vollständige Liste der Trainingsparameter jedes Datensets siehe A. Für die gesamte Liste aller Ergebnisse siehe B.

(und benötigte während des Trainings auch weniger Zeit). Das Lemmatisieren führte dazu, dass während der Bewertung der Sets oft einige Schritte nicht durchgeführt werden konnten, was anhand der in Subskript in Klammern stehenden Zahlen abzulesen ist. Darunter leidet leider auch wenig die Vergleichbarkeit; es erscheint aber zumindest logisch, dass bei gleichem Evaluationswert einem Datenset mit weniger nicht gefundenen Wortvektoren eine höhere Qualität beizumessen ist.

Bei den Analogie-Datensets sind ähnliche Tendenzen sichtbar: Beim GOOGLE-Datenset sind die Diskrepanzen jedoch deutlich stärker und Vektoren des unlemmatisierten Korpus schneiden deutlich besser ab, was vor allem dadurch zu erklären ist, dass in diesem Set auch Flektion geprüft wird (bspw. *schreiben* verhält sich zu *schreibt* wie *sagen* zu *sagt*) und diese Formen durch die Lemmatisierung verlorengehen. Beim SEMREL-Datenset verhält sich das ganze allerdings genau umgekehrt, wenn auch die Unterschiede wesentlich feiner sind.

Es ist ferner zu erkennen, dass einige der extern bereitgestellten Evaluationsdaten nicht sehr gut zusammengestellt wurden. Bei WORTPAARE222 prägen sich die Korrelationswerte nicht unter  $-0,54$  aus, was dafür spricht, dass die Ähnlichkeit der Wortpaare für sowohl für das System als möglicherweise auch für die menschlichen Annotatoren schwer einzuschätzen war.<sup>9</sup> Beim SEMREL-Analogienset sticht dieser Fakt noch viel drastischer heraus: Im besten Fall wurden 3% (sic!) der Analogien richtig vom System vervollständigt. Es sei angemerkt, dass es auch dem Autor und anderen gefragten Personen schwerfiel, stichprobeartig ausgewählte Fragen richtig zu beantworten<sup>10</sup>. Deshalb stellen sich die Ergebnisse bei diesem Vergleichset ohne klare Tendenz in den Resultaten und generell sehr schlecht dar.

<sup>9</sup>Beispielhaft seien hier einige Wortpaare aus WORTPAARE222 genannt, die nach Ähnlichkeit bewertet werden mussten, um das Problem zu illustrieren:  
wahrnehmen - Grundsatzfrage / groß - Arbeitszeitregelung / Hubschraubertyp - einschließlich / Büroequipment - Institut.

<sup>10</sup>Liebllichkeit verhält sich zu Anmut wie Mittelklasse zu...? *мѣръ*  
Zivilgesellschaft verhält sich zu Bürgergesellschaft wie Gegenargument zu...? *справка*  
Trio verhält sich zu Solo wie Arzt zu...? *лечебница*

Für die nachfolgenden Schritte wurde die bestabschneidenen Wortvektorsets, namentlich Mark I, XIII und XIV ausgewählt.

## Kapitel 6

# Experiment A: TransE für deutsche Wissensdaten

In diesem Kapitel soll der Ansatz von (Bordes et al., 2013) für deutsche Daten nachvollzogen werden. Dabei wird erst erklärt, wie die Daten erstellt wurden. Danach wird die Idee zum Training der Daten ausgeführt und auf die neuen Datensätze angewendet, bevor schließlich eine Evaluation und eine Gegenüberstellung zu den Originaldaten erfolgt.

### 6.1 Datenerzeugung

In (Bordes et al., 2013) werden mehrere Datensets erstellt darunter eines namens *FB15k*. Dieses besteht aus Relationstripeln der Form  $(h, l, t)$  ( $= (head, link, tail)$ ). Diese stammen aus *Freebase*, einer community-gepflegten Datenbank, in der mehr als 23 Millionen Entitäten durch Relationen miteinander verknüpft sind. Mittlerweile ist die Seite offline; das Projekt wurde sukzessive in *Wikidata* <sup>11</sup> integriert. Auch die Freebase API, die als Programmierschnittstelle zum Abfragen von Informationen dient wird langsam abgeschaltet <sup>12</sup>.

Die FB15k-Daten enthalten 592.213 Tripeln mit 14.951 einzigartigen Entitäten und 1.345 einzigartigen Relationen. In Freebase sind Entitäten sprachlich unabhängig gehalten. So wird die Entität mit dem Kürzel `"/m/02vk52z"` im Englischen mit dem Begriff *World Bank* und im Deutschen mit *Weltbank* bezeichnet. Somit ist auch FB15k zumindest theoretisch vielsprachig. Jedoch sind die Entitäten darin oft hauptsächlich englische bzw. amerikanische Entitäten, die im deutschen Sprachraum teils nicht sehr bekannt sind. Das lässt daraus schließen, dass das Attribut einer Entität in Freebase, dass den deutschen Namen enthält, nicht immer verwendet wurde. Dies könnte drei Gründe haben:

1. Es gibt keine deutsche Übersetzung
2. Die Entität ist für den deutschen Sprachraum nicht relevant genug
3. Bisher hat einfach noch kein Nutzer einen deutschen Begriff hinzugefügt

<sup>11</sup>Siehe [https://www.wikidata.org/wiki/Wikidata:Main\\_Page](https://www.wikidata.org/wiki/Wikidata:Main_Page) (zuletztabgerufenam20.05.16)

<sup>12</sup>Siehe <https://en.wikipedia.org/wiki/Freebase> (zuletztabgerufenam(20.05.16) )

Die Plausibilität dieser Gründe ist diskutabel: Nicht alle Begriffe brauchen eine Übersetzung, so sind beispielsweise Personennamen i.d.R. durch alle Sprachen hinweg gleich. Schwieriger wird es bei Ortsnamen oder Namen von Organisationen: Intuitiv drängt sich der Anschein auf, dass populäre Bezeichnungen eher übersetzt werden als unpopulärere (*United States of America* → *Vereinigte Staaten von Amerika* / *University of Denver* → *University of Denver*).

Im Falle der Relevanz ist davon auszugehen, dass diese mit der Bearbeitung durch Nutzer einher geht: Bei einer großen Nutzerbasis ist davon auszugehen, dass diese primär Einträge von Entitäten bearbeiten, die im Kontext der Geschichte, des Tagesgeschehens o. Ä. relevant sind. Gegeben genug Zeit und aktive Nutzer ist also anzunehmen, dass eine immer größer werdende Prozentzahl von Relevanten Entitäten an das Deutsche angepasst wird. Bedenkt man die Laufzeit von Freebase seit 2007 (also zum Zeitpunkt des Schreibens dieser Arbeit rund 9 Jahre), so nehmen wir an, dass dieses Bedenken zwar nicht ganz aus der Welt zu räumen, aber zumindest zu vernachlässigen ist.

Basierend auf dieser Argumentation werden korrespondierende “deutsche” Daten folgendermaßen erzeugt: Es wird bei allen Relationstripeln eine Prüfung durchgeführt, ob beide Entitäten  $h$  und  $t$  eine deutsche Bezeichnung besitzen. Falls nicht, wird dieses Tripel ausgelassen. Danach wird ggf. noch die inverse Relation ergänzt (diese wird später beim Training benötigt), z.B. bei */location/location/contains* und */location/location/containedby*.

DATENSET	#TRIPEL	#ENTITÄTSTYPEN	#RELATIONSTYPEN
FB15k	592.213	14.951	1.345
GER14k	459.724	14.334	1.236

**Abbildung 6.1:** Daten über die Relationsdatensets FB15k und GER19k. Aufgelistet ist die Anzahl der Tripel (Datensätze), Entitäts- und Relationstypen.

Somit gilt für die Menge englischer Relationstripel  $S_{EN}$  und die Menge deutscher Tripel  $S_{DE}$ , dass letztere eine echte Teilmenge ist:  $S_{EN} \supsetneq S_{DE}$ <sup>13</sup>. Verschiedene Informationen über die beiden Datensets sind in Abbildung 6.1 aufgelistet.

## 6.2 Training

Gegeben ist eine Menge von Relationstripeln  $S$  der Form  $(h, l, t) \in S$ . Zusätzlich gibt es noch eine Entitätsmenge  $E$  sodass  $h, t \in E$  und eine Menge von Relationen  $L$  mit  $l \in L$ . Den Entitäten und Relationen werden zusätzlich noch Vektoren aus  $\mathbb{R}^k$  zugewiesen. Idealerweise gelten nach dem Training für eine gültige Relation  $(h, l, t)$  dann  $h + l \approx t$ . Hinzu wird noch eine Menge aus korruptierten bzw. “falschen” Tripeln  $S'$  erstellt, indem für jedes Tripel in  $S$  entweder  $h$  oder  $t$  durch eine andere, zufällig gewählte Entität ersetzt wird:

$$S' = \{(h', l, t) | h' \in E\} \cup \{(h, l, t') | t' \in E\} \quad (6.1)$$

<sup>13</sup> $\forall e \in S_{DE} : e \in S_{EN} \wedge S_{DE} \neq S_{EN}$

Diese Methode wird von (Bordes et al., 2013) Rausch-kontrastierendes Lernen (*Noise-contrastive learning*) genannt.

Um die für das Training benötigte Verlustfunktion zu definieren wird das Unähnlichkeitsmaß  $d_p$  für ein Tripel bestimmt, welcher entweder aus der  $L_1$ - oder der  $L_2$ -Norm abgeleitet wird, also:

$$d_1(h + l, t) = \sum_{i=1}^k \|h_i + l_i - t_i\| \quad (6.2)$$

$$d_2(h + l, t) = \sqrt{\sum_{i=1}^k \|h_i + l_i - t_i\|^2} \quad (6.3)$$

Zuletzt werden noch Tripel  $s$  aus  $S$  und zufällige Tripel  $s'$  aus  $S'$  in Paaren in einem neuen Datenset  $S^*$  gruppiert:

$$S^* = \{(s, \text{sample}(S')) : s \in S\} \quad (6.4)$$

Nun kann die Verlustfunktion  $\mathcal{L}$  erstellt werden:

$$\mathcal{L} = \sum_{((h,l,t),(h',l',t')) \in S^*} \max(0, \gamma + d_p(h + l, t) - d_p(h' + l', t')) \quad (6.5)$$

Der Parameter  $\gamma$  bezeichnet hier einen Hyperparameter, der dem System einen gewissen Spielraum lässt. Indem versucht wird, den durch diese Funktion errechneten Verlust zu minimieren, wird beim Training sichergestellt, dass die Vektorrepräsentationen von korrekten Tripeln die Gleichung  $h + l \approx t$  bestmöglichst erfüllen und für korruptierte Tripel möglichst weit verfehlen.

Vor dem Training werden die Repräsentationen der Entitäten und Relationen mit einer uniformen Verteilung im Intervall  $[-\frac{6}{\sqrt{k}}, \frac{6}{\sqrt{k}}]$  initialisiert und im Falle von  $l \in L$  zusätzlich normiert. Während jedes Trainingsschritt werden für die aktuellen Repräsentation der Verlust berechnet und deren Werte mithilfe des Minibatch-Stochastic-Gradient-Descent angepasst. Der Minibatch enthält dabei ebenso viele gültige wie korruptierte Tripel. Das Training wird solange ausgeführt, bis die Fehlerrate auf dem Validationsset konvergiert<sup>14</sup>.

Für das Reproduzieren der Ergebnisse wurde den Empfehlungen von (Bordes et al., 2013) gefolgt: So wird das Training nach maximal 1000 Epochen beendet, außerdem gilt  $k = 50$ ,  $\gamma = 1$ ,  $\lambda = 0,01$  und  $d_1$  als Unähnlichkeitsmaß.

## 6.3 Evaluation

Um die erstellten Daten zu evaluieren, werden bei den Relationen im Testset jeweils die Head- und Tailentitäten ersetzt. Danach werden alle bekannten Entitäten eingesetzt und mithilfe des Dissimilaritätsmaßes ansteigend sortiert. Der Rang der korrekten (ursprünglich entfernten) Entität wird dann gespeichert. Dieses Verfahren wurde zuerst von (Bordes et al., 2011) vorgeschlagen.

<sup>14</sup>Konvergenz auf dem Trainingsset könnte ein Zeichen für Overfitting sein.

Daraus lassen sich dann zwei Evaluationsmaße ableiten: Den gemittelten Rang der korrekten Entität sowie die den Anteil der Evaluationsläufe, bei denen sich die richtige Entität innerhalb der Top 10 befand (Hits@10). Zusätzlich wurde noch zwischen roh und gefiltert unterschieden: Bei letzterem werden mögliche Tripel ignoriert, die in dieser Form schon in den Trainingsdaten vorkamen und so auf “unfaire” Art und Weise vor allen anderen Tripeln bevorzugt werden. Die Ergebnisse für die auf FB15k und GER14k trainierten Daten sind in Abbildung 6.2 festgehalten.

DATENSET	GEMITTELT RANG		HITS@10	
	<i>Roh</i>	<i>Gefiltert</i>	<i>Roh</i>	<i>Gefiltert</i>
FB15k	575,54	<b>197,02</b>	<b>34,8</b>	<b>48,79</b>
GER14k	<b>234,73</b>	222,05	<b>34,07</b>	41,83

**Abbildung 6.2:** Resultate für TransE, trainiert auf dem FB15k- und dem GER14k-Datenset. Hits@10 gibt den Anteil der Vorkommen an, bei denen sich die gesuchte Entität in der Relation links oder rechts in den top zehn von dem System vorhergesagten Kandidaten befand (*raw*). *Filtered* bezieht sich auf denselben Rang, wenn die extra erstellten korruptierten Tripel zum Training aus den Trainingsdaten entfernt wurden. *mean* bezeichnet den gemittelten Rang der richtigen Entität in der vom System erstellten Rangliste der wahrscheinlichsten Vorhersagen.

An Ergebnissen ist zuerst zu erkennen, dass sie von den Ergebnissen in (Bordes et al., 2013) für FB15k etwas abweichen. Dies könnte daran liegen, dass bei der Beschreibung des Trainingsverfahren angegeben wurde, dass das Trainingsverfahren nicht unbedingt 1000 Epochen lang ausgeführt wurde. In dem Code, der von den Autoren online zur Verfügung gestellt wurde<sup>15</sup>, wurde dazu leider keine Option gefunden. Weshalb vermutlich davon auszugehen ist, dass dies manuell ausgeführt wurde. Deshalb ist zu schließen, dass die hier aufgeführten Ergebnisse schlechter sind als die, die im Paper angegeben wurde, weil die Vektorrepräsentationen zu sehr auf die Trainingsdaten angepasst wurden und dann schlecht auf den Testdaten generalisieren. Da die Daten aus GER14k gewissermaßen eine Untermenge von FB15k sind, sind deren Ergebnisse eher i.d.R. gleichwertig oder schlechter. Die Frage, warum der rohe gemittelte Rang bei GER14k signifikant besser ist als bei FB15k, könnte dahingehend beantwortet werden, dass sich in der Trainingsphase zu sehr an die Übungsdaten angepasst wurde und zu viele Trainingstriple vor der eigentlich richtigen Lösung rangieren. Deshalb ist der Wert für die gefilterten Tripel auch umso viel besser.

[STATISTISCHE SIGNIFIKANZ HITS@10 ROH]

## 6.4 Zwischenfazit

In diesem Kapitel wurde ein Verfahren vorgestellt, dass es erlaubt, Vektoren zu trainieren, die Entitäten und Relationen aus Wissensdatenbanken modellieren und zur Relationsvorhersage zu nutzen. Dabei bestehen die Daten aus Relationstriple, also 3-Tupeln mit einer Kopf- und einer Fußentität und einer dazugehörigen semantischen Relation. Es werden außerdem noch negativbeispiele erzeugt, indem einer der beiden Entitäten durch eine andere in

<sup>15</sup><https://github.com/glorotxa/SME>

den Trainingsdaten vorkommende Entität zufällig ausgetauscht wird. Der Trainingsvorgang wird hierbei mithilfe eines auf Vektorarithmetik basierenden Unähnlichkeitsmaß betrieben, mit der die “Stimmigkeit” korrekter Tripel versucht wird zu maximieren. Das Gegenteil stimmt für korruptierte Tripel.

Es wurde gezeigt, dass sich die (Bordes et al., 2011) präsentierten Ergebnisse im Rahmen der gegebenen Möglichkeit annähernd replizieren lassen. Darüber hinaus wurde die Methodik auch auf eine Menge deutscher Daten angewendet, die eine echte Teilmenge der englischen Daten darstellt. Für diese konnten ähnlich gute Ergebnisse erzielt werden, wobei die qua definition kleinere Menge an Übungsbeispielen dem Unterschied in Performanz Rechnung trägt.

Bei dieser Vorgehensweise wurden die Vektorrepräsentationen für Entitäten und Relationen gleichermaßen trainiert. In den folgenden Kapiteln soll ein Versuch unternommen werden, mithilfe von distributioneller Semantik erstellte Wortvektorrepräsentationen für die Entitäten zu nutzen und darauf aufbauend Relationen vorherzusagen.





## Kapitel 7

# Experiment B: Relationsvorhersage mit Wortvektorrepräsentationen

*Q: Why did the multithreaded chicken cross the road? A: to To other side . get the*

JASON WHITTINGTON

### 7.1 Idee

Gegeben ist ein Vektorraum  $V$  mit Wortvektoren  $\vec{u}, \vec{v} \in V$  und  $\vec{u}, \vec{v} \in \mathbb{R}^d$ . Gesucht ist eine Funktion  $\phi$ , die ein Vektorenpaar in einen Relationsraum abbildet:  $\phi : \mathbb{R}^d \rightarrow \mathbb{R}^e$ , wobei nicht zwangsläufig  $d = e$ .

In ihrer einfachsten Form bildet sie einfach die Differenz  $\vec{d}$  der beiden Vektoren:

$$\phi(\vec{u}, \vec{v}) = \vec{v} - \vec{u} = \vec{d} \quad (7.1)$$

### 7.2 Algorithmus

Der Grundalgorithmus (siehe Abbildung 7.1) versucht nun, alle Kombinationen von Wortvektoren zu bilden und über diese und den Differenzvektor zu bilden. Alle Kombinationen würde bei  $n$  Vektoren in  $n * n = n^2$  Vektoren resultieren. Zwar ist  $\phi(\vec{u}, \vec{v}) \neq \phi(\vec{v}, \vec{u})$ , jedoch wäre die Berechnung beider Differenzvektoren redundant, da sie lediglich Spiegelungen voneinander im Raum sind und so diesselbe Information enthalten. Die Berechnung der Differenz in nur eine Richtung reduziert die Anzahl der Vektoren dadurch zu  $\frac{n*(n-1)}{2}$ .

```
Data : Menge von Vektorpaaren  $\mathcal{C}$ 
for  $(\vec{u}, \vec{v}) \in \mathcal{C}$  do
  |  $\vec{d} = \vec{v} - \vec{u}$ ;
end
```

**Abbildung 7.1:** Einfacher Projektionsalgorithmus.

Gegeben einer Menge relevanter Kombinationen  $\mathcal{C}$  mit Vektorpaaren gilt also:

$$\forall (\vec{u}, \vec{v}) \in \mathcal{C} : (\vec{v}, \vec{u}) \notin \mathcal{C} \quad (7.2)$$

Eine Modifikation des Algorithmus besteht darin, das Berechnen von  $\vec{d}$  ab eine Bedingung zu knüpfen. Gegeben sei eine Menge von Sätzen (ein Korpus)  $\mathcal{K}$  mit  $n$  Sätzen  $s_i$  sodass  $\mathcal{K} = \{s_i\}_{i=1}^n$  mit  $m$  Wörtern  $w_{ij}$  pro Satz  $s_i = \{w_{ij}\}_{j=1}^m$ . Eine Kookkurrenz von zwei Begriffen (types)  $t_1$  und  $t_2$  besteht demnach, falls im Korpus mindestens ein Satz existiert, in dem beide gleichermaßen vorkommen. Dazu können wir eine Funktion  $\Lambda$  definieren, die die Anzahl der Kookkurrenzen bestimmt:

$$\Lambda(t_1, t_2) = |\{s_i | \exists w_{ij} = t_1 \wedge \exists w_{ij} = t_2 \wedge t_1 \neq t_2\}_{i=1}^n| \quad (7.3)$$

Eine mögliche Einschränkung besteht darin, in einem geänderten Algorithmus (siehe Abbildung 7.2) das Berechnen von  $\vec{d}$  nur dann zu erlauben, wenn die Anzahl der Kookkurrenzen der zu den Vektoren  $\vec{v}(t_1), \vec{v}(t_2)$  gehörenden Begriffe  $t_1, t_2$  einen bestimmten Schwellenwert  $\gamma$  überschreitet, also  $\Lambda(t_1, t_2) > \gamma$ .

```

Data : Menge von Vektorpaaren  $\mathcal{C}$ 
for  $(\vec{v}(t_1), \vec{v}(t_2)) \in \mathcal{C}$  do
    if  $\Lambda(t_1, t_2) > \gamma$  then
         $\vec{d} = \vec{v}(t_2) - \vec{v}(t_1);$ 
    end
end

```

**Abbildung 7.2:** Modifizierter Projektionsalgorithmus, bei dem die zu den Vektoren gehörigen Begriffe über  $\gamma$  Mal im Korpus im gleichen Satz aufgetreten sein müssen, damit  $\vec{d}$  errechnet wird.

### 7.3 Parallelisierter Algorithmus

Doch selbst mit den erwähnten Einschränkungen skaliert dieser Algorithmus nur bedingt. Um dem entgegenzuwirken, soll nun versucht werden, diesen mithilfe von *Multithreading* zu parallelisieren. Bei dieser Technik beschäftigt ein Rechenprozess mehrere Prozessstränge (*Threads*), die miteinander kommunizieren und bei Bedarf synchronisiert werden können, während sie Teile eines Problems lösen.

Ein beliebtes Muster, das Verhältnis zwischen mehreren Threads zu definieren besteht im *Master-Slave*-Muster. Dabei fungiert ein Subprozess als Aufseher, der seine Arbeiterprozesse überwacht, sie mit Daten versorgt und in manchen Fällen untereinander koordiniert.

In diesem konkreten Fall ist der Master-Thread dafür verantwortlich, alle benötigten Daten in entsprechende Datenstrukturen zu laden, sie den Worker-Threads bereitzustellen und letztere gemeinsam zu starten und zu beenden, sobald ein bestimmtes Abschlusskriterium der Aufgabe erfüllt ist. Zusätzlich wird eine Menge eingeführt, in die Paare von Vektoren hinzugefügt werden, sofern für sie von einem Thread ein Differenzvektor ausgerechnet wurde (siehe Abbildung 7.3). Damit nun keiner der Threads redundante

**Data** : Menge von Vektorpaaren  $\mathcal{C}$   
**Data** : Menge von erledigten Vektorpaaren  $\mathcal{C}'$  (Anfangs  $\mathcal{C}' = \emptyset$ )  
**Data** : Menge von Threads  $\mathcal{T} = \{th\}_i^n$

**Klasse** MASTERTHREAD  
data = ladeDaten();  
**for**  $th \in \mathcal{T}$  **do**  
| starteThread( $th$ , data);  
**end**  
**for**  $th \in \mathcal{T}$  **do**  
| beendeThread( $th$ );  
**end**

**Klasse** WORKERTHREAD  
**for**  $(\vec{v}(t_1), \vec{v}(t_2)) \in \mathcal{C}$  **do**  
| **if**  $(\vec{v}(t_1), \vec{v}(t_2)) \notin \mathcal{C}'$  **then**  
| | **if**  $\Lambda(t_1, t_2) > \gamma$  **then**  
| | |  $\vec{d} = \vec{v}(t_2) - \vec{v}(t_1)$ ;  
| | **end**  
| |  $\mathcal{C}' = \mathcal{C}' \cup (\vec{v}(t_1), \vec{v}(t_2))$ ;  
| **end**  
**end**

**Abbildung 7.3:** Parallelisierter Projektionsalgorithmus, bei dem die zu den Vektoren gehörigen Begriffe über  $\gamma$  Mal im Korpus im gleichen Satz aufgetreten sein müssen, damit  $\vec{d}$  errechnet wird. Ein Master-Thread verteilt zudem die Aufgaben an Worker-Threads, die diese Berechnungen übernehmen und erledigt Vektorpaare in einer Menge ablegen.

Berechnungen durchführt, prüft er, ob sein aktuelles Vektorpaar sich in dieser Menge befindet und schon abgehakt wurde<sup>16</sup>.

Als Grundlage der Daten wurde das Datenset Mark I gewählt, da es in den meisten der Evaluationsaufgaben als bestes Abschnitt. Mit  $\gamma = 100$  resultierte das Procedere in einem neuen Menge an Daten mit insgesamt X Differenzvektoren [GENAUE ZAHL EINFÜGEN] mit einer Größe von X,X GB [GENAUE GRÖSSE EINFÜGEN].

Um den Gewinn durch Multithreading zu verdeutlichen, wurden darüber hinaus die Rechenzeiten gemessen (siehe Abbildung 7.4). Gerechnet wurde auf eine Hardware mit 40 Prozessorkernen und [RESTLICHE SPECS EINFÜGEN].

## 7.4 Evaluation

Die Evaluation der im vorherigen Schritt gewonnen Daten findet folgendermaßen statt: Für jedes gewonnene Cluster  $c$  wird für jedes Paar von Vektoren die Zugehörigkeit der entsprechenden Wörter zu einer FREEBASE-Relation  $r$  geprüft. Dem gesamten Cluster kann dann die Relation  $r_c$  zugeordnet werden, die die meisten Treffer zu verzeichnet hat.

<sup>16</sup>Damit dies möglichst schnell funktioniert, wird das Vektorpaar durch eine Hashfunktion in einen Wert umgewandelt. Diese wird so gewählt, sodass  $h(\vec{v}(t_1), \vec{v}(t_2)) = h(\vec{v}(t_2), \vec{v}(t_1))$ .

$$r_c = \underset{r \in R}{\operatorname{argmax}} \sum_{(\vec{v}(w_1), \vec{v}(w_2)) \in c} \mathbb{1}_r((w_1, w_2)) \quad (7.4)$$

Die “Reinheit”  $P$  eines Clusters kann dann errechnet werden, indem der Anteil der zur Relation des gesamten Clusters zugehörigen Wortpaaren bestimmt wird<sup>17</sup>:

$$P(c) = \sum_{(\vec{v}(w_1), \vec{v}(w_2)) \in c} \mathbb{1}_{r_c}((w_1, w_2)) / |c| \quad (7.5)$$

Diese Metrik bestraft allerdings, wenn in einem Cluster neue Paare einer Relation vorkommen, die noch nicht in FREEBASE vorhanden sind. Da dies allerdings auch ein Teilziel dieses Ansatzes war, ebensolche Paare neu aufzufinden, wird noch eine modifizierte Version dieser Metrik behandelt: Es gilt dabei vor allem, unbekannte richtige Wortpaare von falschen zu unterscheiden. Zu diesem Zweck wird die Annahme getroffen, dass alle Vektoren  $\vec{v}(h)$  und  $\vec{v}(t)$ , die zu den Kopfentitäten  $H_c$  und den Fußentitäten  $T_c$  gehören, recht ähnlich sind. So wird für jedes Cluster zunächst für ebendiese Entitäten ein Durchschnitt errechnet, deren Zugehörigkeit zu  $r_c$  festgestellt wurde:

$$\tilde{h} = \sum_{\vec{v}(h) \in H_c} \vec{v}(h) / |H_c| \quad (7.6)$$

$$\tilde{t} = \sum_{\vec{v}(t) \in T_c} \vec{v}(t) / |T_c| \quad (7.7)$$

Demnach erweitern wir  $r_c$  um die Wortpaare, deren Vektoren den durchschnittlichen Kopf- und Fußvektoren ähnlich genug sind. Zu diesem Zweck wird ein Schwellenwert  $\tau$  definiert, den ein potenziell zu  $r_c$  zugehöriges Wortpaar im Bezug auf Cosinusähnlichkeit (siehe 5.1) nicht unterschreiten darf:

$$r_c^+ = r_c \cup \{(w_1, w_2) | (\vec{v}(w_1), \vec{v}(w_2)) \in c \wedge \cos(\vec{v}(w_1), \tilde{h}) \geq \tau \wedge \cos(\vec{v}(w_2), \tilde{t}) \geq \tau\} \quad (7.8)$$

Auf Basis der Gleichung 7.5 folgt für die modifizierte Reinheit eines Wortpaarclusters  $P^+$ :

$$P^+(c) = \sum_{(\vec{v}(w_1), \vec{v}(w_2)) \in c} \mathbb{1}_{r_c^+}((w_1, w_2)) / |c| \quad (7.9)$$

## 7.5 Ergebnisse

Vorgreifend soll angemerkt werden, dass es nicht möglich war, endgültige Ergebnisse mithilfe der vorher beschriebenen Evaluationsmetrik  $P^+(\cdot)$  zu erzeugen. Die genauen Gründe hierfür werden im nächsten Abschnitt 7.6 genauer beleuchtet. Dementsprechend sollen an dieser Stelle Zwischenergebnisse vorgestellt werden.

<sup>17</sup>Die Indikatorfunktion mit  $\mathbb{1}_{r_c}((w_1, w_2))$  liefert 1, wenn  $(w_1, w_2) \in r_c$  gilt, ansonsten 0.



**Abbildung 7.4:** Auszüge aus einigen Wortpaarclustern, die mit in dem Abschnitt 7.3 vorgestellten Ansatz erzeugt wurden.

Wie Abbildung 7.5 zu entnehmen ist, in der einige Auszüge aus Clustern beispielhaft dargestellt sind, fällt es schwer, die dort aufgeführten Wortpaar insgesamt einer Relation zuzuordnen. Im Gegenteil gelingt dies selbst für einzelne Paare nicht, siehe beispielweise “Beispiel 1” oder “Beispiel 2”. Es zeigt sich, dass auch das Kookkurrenz-Feature zu keiner Besserung der Ergebnisse geführt hat. Aufgrund der scheinbaren Zufälligkeit der Ergebnisse erschien es auch nicht mehr sinnvoll, weitere Schritte auf Basis dieser Daten (vor allem Evaluation) durchzuführen.

## 7.6 Zwischenfazit

Wie der letzte Abschnitt der gezeigt hat, entsprechen die Ergebnisse nicht den vorher gefassten Hoffnungen. Im Folgenden soll ein Versuch unternommen zu erklären, welche Probleme zu diesen Resultaten geführt haben und welche Implikationen diese besitzen.

### 7.6.1 Daten

Will man das Scheitern unmittelbar auf einen Faktor zurückführen, so liegen die zugrunde liegenden Daten am nächsten. Es lassen sich im Bezug auf jene folgende Punkte feststellen:

- **Menge**

Selbst mit der Reduzierung der resultierenden Daten von  $n^2$  auf  $\frac{n \cdot (n-1)}{2}$  ist die Datenmenge noch sehr groß, gerade wenn das anfänglich Wortvektorset auf einem großen Vokabular wie dem des Decow-Korpus aufbaut. Dies stellt hohe Anforderung an die Skalierbarkeit aller involvierter Algorithmen und fordert Einschränkungen auf verschiedener Ebene, wodurch mögliche spätere Entdeckung eventuell vorenthalten werden könnten.

- **Rauschen**

In den Enddaten ist der überwiegende Teil der Datenpunkte keiner sinnvollen Relation zuzuordnen. Dadurch verzaubern diese mögliche sinnvolle Relationscluster, die darin untergehen (vgl. Abbildung 7.6). Die resultierenden Cluster sind sehr schwammig, da sie sich schlecht vom Hintergrundrauschen abgrenzen. Dies ist beispielsweise durch

den Wert des Silhouettenkoeffizienten<sup>18</sup> erkennbar, der bei den Experimenten immer kurz unter Null lag<sup>19</sup>.

- **Ähnliche Distanzvektoren**

Der beschriebene Ansatz wurde unter der Annahme verfolgt, dass für Wortpaare einer Relation  $R = \{(h_j, t_j)\}_{j=0}^m$  folgendes gilt:

$$\vec{v}(t_0) - \vec{v}(h_0) \approx \vec{v}(t_1) - \vec{v}(h_1) \approx \dots \approx \vec{v}(t_m) - \vec{v}(h_m) \quad (7.10)$$

Anders ausgedrückt wurde aufgrund vorheriger Arbeiten die Hypothese aufgestellt, dass sich die Distanzvektoren von Wortpaaren derselben Relation ähneln. Durch die Ergebnisse wurde diese Hypothese nicht widerlegt (im Gegenteil scheinen andere Arbeiten wie (Bordes et al., 2013) oder (Lin et al., 2015) diese Annahmen zu bestätigen), jedoch gilt diese Eigenschaft nicht **exklusiv** für diese Untermenge an Vektorpaaren.

Nehmen wir beispielsweise im ursprünglichen Vektorraum mit Wortvektoren das folgende Szenario an: Wir finden dort zwei Cluster  $C_1$  und  $C_2$  vor. Die zu den Vektoren zugehörigen Cluster weisen eine semantische Ähnlichkeit auf und liegen deshalb nahe beieinander, z.B. Vornamen wie *Julia* und *Hans* in  $C_1$  und Städte wie *Barcelona* und *Paris* in  $C_2$ . Daraus ergibt sich Folgendes:

$$\begin{aligned} \vec{v}(\text{Julia}) \approx \vec{v}(\text{Hans}) \wedge \vec{v}(\text{Barcelona}) \approx \vec{v}(\text{Paris}) &\implies \\ \vec{v}(\text{Julia}) - \vec{v}(\text{Barcelona}) \approx \vec{v}(\text{Hans}) - \vec{v}(\text{Paris}) &\end{aligned} \quad (7.11)$$

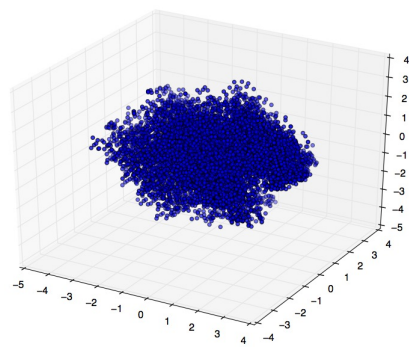
Anders ausgedrückt: Auch wenn sich semantische Information in den Wortvektoren dadurch manifestiert, dass ähnliche Ausdrücke in ihren Clustern nahe beieinander liegen, können Distanzvektoren aus Wortpaaren der gleichen Cluster ähnlich sein, ohne semantisch in irgendeinem Zusammenhang zu stehen. Dies führt schlussendlich dazu, dass die wenigen Cluster, die im Relationsraum gefunden werden, zwar aus Wortpaaren mit ähnlichem Differenzvektor stehen, jedoch keine “sinnvolle” Relation bilden, was sich mit dem in 6.1 eingeführten Parameter  $\gamma$  zwar verringern, allerdings nicht gänzlich verhindern lässt. Das Ziel, neue und legitime Relationen zu finden, wird durch diesen Trugschluss ad absurdum geführt.

## 7.6.2 Ansatz

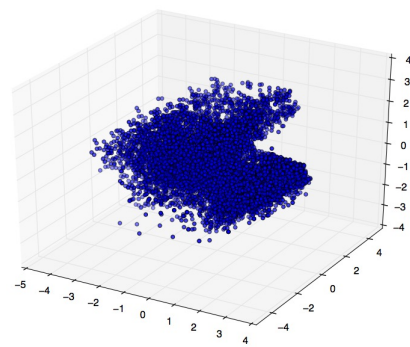
Das Fehlschlagen des Vorgehens kann auch auf einer theoretischen Ebene festgestellt werden: Das Ziel bestand darin, Wissen über Relationen zwischen Wortpaaren zu extrahieren. Um dieses Wissen gewissermaßen “freilegen”, muss es aber auf eine Art und Weise innerhalb der Daten “kodiert” sein, wenn auch versteckt (so wie die semantische Ähnlichkeit zwischen Wörtern durch die räumliche Nähe ihrer Vektoren und deren Dimension kodiert ist). Wie beim Aufzeigen des Trugschlusses am Ende von 7.6.1 gezeigt wurde,

<sup>18</sup>Der Silhouettenkoeffizient  $s_C$  beschreibt das durchschnittliche Verhältnis vom Abstand eines Punktes zu seinem Clusterzentrum gegenüber des nächsten Clusterzentrums.  $-1 \leq s_C \leq 1$ .

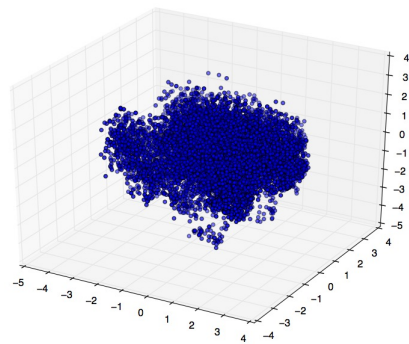
<sup>19</sup>Für ein gutes Clustering wird ein Wert von  $s_C \geq 0,75$  erwartet.



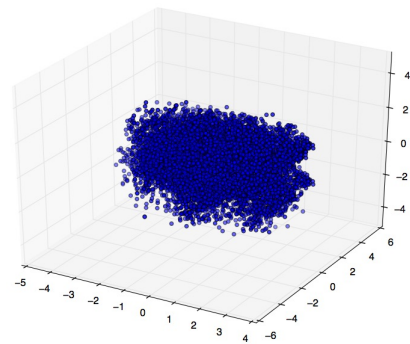
Mappings A: ♠♣■



Mappings B: ♠♣



Mappings C: ♠♣♥



Mappings D: ♠★

## Feature-Legende

♠  $\vec{v}(t_2) - \vec{v}(t_1)$ ★  $\Lambda(t_1, t_2) \geq 1$ ♣  $\Lambda(t_1, t_2) \geq 100$ ■  $\cos(\vec{v}(t_2), \vec{v}(t_1))$ ♥  $\| \vec{v}(t_2) - \vec{v}(t_1) \|$ 

**Abbildung 7.5:** Dreidimensionale Projektionen einiger durch das Mappingverfahren resultierender Vektorräume. Jeweils dargestellt: 10000 Vektoren. Symbole zeigen die jeweils genutzten Feature an.

sind semantische Relationen nicht eindeutig innerhalb der Daten aufzuzeigen bzw. nur dann, wenn bereits vorher bruchstückhaftes Wissen darüber vorliegt. Ohne dieses Vorwissen sind richtige von nur scheinbaren Relationen nicht zu trennen.





## Kapitel 8

# Experiment C: Relationsvorhersage mit Wortvektorrepräsentation

In diesem Kapitel soll versucht werden, die Methodik des Rausch-kontrastierenden Lernen aus Kapitel 6 auf die Wortvektoren (vgl. Kapitel 5) anzuwenden und nur die Relationsvektoren zu lernen. Zu diesem Zweck wird eine Untermenge von FB15k, die Tripel enthält, deren Kopf- und Fußentität jeweils als Wortvektorrepräsentation vorliegen. Schlußendlich werden die Ergebnisse evaluiert und diskutiert.

### 8.1 Datenerzeugung

Zu Trainingszwecken wird eine Untermenge aus FB15k bzw. GER14k gebildet. Da die Vektorrepräsentationen für die Entitäten nicht von Grund auf erstellt werden, sondern mit `word2vec` trainierte Vektoren verwendet werden, können nur solche Worte in dem neuen Trainingsset vorhanden sein, zu denen ebensolche Wortvektoren auch vorliegen. Dies ist leider nur für einen geringen Teil der Fall, wie in Abbildung 8.1 zu erkennen ist.

DATENSET	#TRIPEL		#ENTITÄTSTYPEN		#RELATIONSTYPEN
FB15k	592.213		14.951		1.345
GER14k	459.724	(↓-22,37 %)	14.334	(↓-4,12 %)	1.236 (↓-8,1 %)
WE4k	50.518	(↓-91,47 %)	3.623	(↓-74,72 %)	749 (↓-39,40 %)

**Abbildung 8.1:** Daten des neuen Sets WE4k im Vergleich mit FB15k und GER14k. Aufgelistet ist die Anzahl der Tripel (Datensätze), Entitäts- und Relationstypen und die Veränderung der Anzahlen in Prozent im Vergleich zu FB15k in Klammern.

Dies ist dadurch zu erklären, dass in der Quelle der Originaldaten, nämlich Freebase, sehr viele sehr seltene Entitäten vertreten sind. Die vielen Freiwilligen, die über die Jahre dazu beigetragen haben, die Wissensdatenbank weiter zu vervollständigen, haben dabei auch viele unbekanntere Filme, Personen etc. hinzugefügt, die in einem Korpus eher selten zu finden sind.

Da die resultierende Menge an Tripeln gerundet ungefähr viertausend einzigartig Entitäten enthält, die auch als Wortvektorrepräsentation (*word embeddings*) vorliegen, wird dieses Datenset WE4k genannt.

## 8.2 Training

Das Training der Relationsvektoren findet in einer sehr zu der in Kapitel 6 beschriebenen Methode sehr ähnlichen Art und Weise wie in Kapitel 6 statt: Es wird zuerst eine Menge korumpierter Tripel erstellt, bei denen entweder die Kopf- oder Fußentität ersetzt wurde. Mithilfe der ursprünglichen Tripel wird eine Menge aus Tripelpaaren erstellt, von denen der korumpierte Teil jeweils zufällig aus  $S'$  ausgewählt wird. Auch die Verlustfunktion gestaltet sich prinzipiell gleich.

Der einzige Unterschied besteht in der Implementation des Algorithmus: So wird wegen der geringeren Menge an Daten darauf verzichtet, für jede Trainingsanzahl eine feste Anzahl von Tripelpaaren zufällig auszuwählen. Stattdessen richtet sich die Größe von  $S_{batch}$  nach folgender Formel:

$$S_{batch} \leftarrow \text{sample}(S^*, \left\lfloor \frac{|S^*|}{10} \right\rfloor + 1)^{20} \quad (8.1)$$

## 8.3 Evaluation

Die Evaluation fand auf dieselbe Art und Weise wie im Abschnitt 6.3 statt. So wurde wieder untersucht, inwiefern die Relationsvektoren und die Vektorrepräsentationen der Entitäten dazu genutzt werden können, ein Relationstripel durch "Raten" zu vervollständigen und gemessen, welcher Rang der richtigen Antwort zugewiesen wurde und in wieviel Prozent diese unter den Top Zehn anzutreffen war.

DATENSET	GEMITTELTER RANG	HITS@10
WE4k	1122,03	5,67
FB15k	<b>197,02</b>	<b>48,79</b>
GER14k	222,05	41,83

Abbildung 8.2

Im Blick auf Abbildung 8.2 zeigt ein ziemlich ernüchterndes Fazit auf. So schnitt die Variante mit Wortvektoren aus `word2vec` und separat trainierten Relationsrepräsentationen ( $\rightarrow$  WE4k) im Bezug auf den gemittelten Rang mehr als fünf Mal so schlecht und im Bezug auf die Hits10 mehr als acht Mal so schlecht ab.

Die möglichen Gründe für das weite Verfehlen guter Ergebnisse werden nun in 8.4 diskutiert.

## 8.4 Zwischenfazit

Um die Diskrepanz zwischen den Ergebnissen mit gemeinsam trainierten Repräsentationen für Entitäten und Relation im Vergleich zu denen mit auf dem Korpus trainierten Entitätsvektoren zu erklären, sollte Unterschiedlichkeit der Ansätze hervorgehoben werden.

<sup>20</sup>Die Addition von 1 dient dazu, bei weniger von 10 Tripeln für eine Relation wenigstens mit einem Tripel zu trainieren. Der Rest ist eine Heuristik.

Im ersten Fall werden wie erwähnt alle zu eine Relation betreffende Repräsentationsvektoren gemeinsam trainiert; es ist also davon auszugehen, dass diese bestmöglichst angepasst sind, um  $|h + r - t|$  für alle  $h, t$  zu minimieren. Dies kann im zweiten Fall nicht unbedingt gewährleistet werden: Da  $h$  und  $t$  im Vorherein schon feststehen und nicht an  $r$  angepasst werden (sondern genau umkehrt  $r$  an  $h$  und  $t$  angepasst wird), kann der minimale Wert der Verlustfunktion unter Umständen nur schwer erlangt werden.

Als eine weitere Begründung ist anzuführen, dass a) WE4k auf deutlich kleineren Datenmengen arbeitet (weshalb maschinelle Lernverfahren unter Umständen gar keine Lösung finden können, die gut auf ungesehene Beispiele generalisiert) und b) Wortvektoren von sehr speziellen Entitäten enthält, die in *Freebase* als Knoten existieren, u. U. aber sehr selten im Korpus auftauchen. Da die Beschaffenheit der korpusbasierten Repräsentationen vor allem von Kookkurrenzen mit anderen Begriffen abhängt, bedeutet eine niedrige Termfrequenz vor allem weniger aussagekräftige Wortvektoren, worunter die Ergebnisse in der Konsequenz zu leiden haben.

Zuletzt sollte mit in Betracht gezogen werden, dass die trainierten Relationen sehr feingliedrig sind. Im Gegensatz zu anderen Forschungsarbeiten, die mit grob aufgelösten Beziehungen wie “Cause-Effect” oder “Entity-Origin” (Hendrickx et al., 2009) arbeiten, können dadurch an größere Datenmengen zugreifen und bessere Ergebnisse auf ungesesehenen Beispielen erzielen.



# Kapitel 9

## Fazit

*Mit dem Wissen wächst der Zweifel.*

JOHANN WOLFGANG VON GOETHE

### 9.1 Zusammenfassung

In dieser Arbeit wurden verschiedene Möglichkeiten präsentiert, Wissen aus Wissensdatenbanken durch kontinuierliche Vektoren zu repräsentieren. In Kapitel 6 wurden unterschiedlich komplexe Herangehensweisen vorgestellt, Repräsentationen für Entitäten und Relationen einer solchen Datenbank gleichzeitig zu mithilfe von Methoden des Maschinellen Lernens zu trainieren. Für das TransE genannte Verfahren wurden zusätzlich Ergebnisse mit einer deutschsprachigen Untermenge der Daten (GER14k) durchgeführt, die zwar bei der Evaluation etwas schlechter ausfielen, aber dennoch vergleichbar waren.

In Kapitel 7 wurde ein eigener Versuch unternommen, ähnliche Ergebnisse mithilfe von Wortvektorrepräsentationen zu erreichen, zur deren Erstellung das Tool *word2vec* verwendet wurde, welches auf großen Korpora arbeitet. Dazu wurde der deutschsprachige Internetkorpus DECOW14X aufbereitet.

Im Folgenden wurde angestrebt, Wortvektorpaare durch ihre Differenzvektoren verschiedenen Relationen zuzuteilen. Dies schlug jedoch fehl, da der Ansatz auf einem Trugschluss fußte. Deshalb konnten keine evaluierbaren Ergebnisse erzeugt werden. Eine ausführliche Diskussion darüber findet sich in 7.6.

### 9.2 Diskussion

Die Implikationen der in dieser Arbeit gewonnenen Erkenntnisse sollte mit Bedacht diskutiert werden. Das Fehlschlagen eines Ansatzes auf der Basis von Wortvektorrepräsentationen heißt im Umkehrschluss nicht, dass alle Vorstöße in dieser Richtung zum Scheitern verurteilt sind (im Gegenteil soll darauf in 9.3 eingegangen werden).

Es scheint jedoch leichter, Repräsentationen gleich im Kontext der Struktur einer Wissensdatenbank als im Kontext eines großen Korpus zu trainieren, da diese so von Anfang an auf dafür wichtige Eigenschaften getrimmt werden (nämliche die Beziehung zu anderen Relevanten Entitäten).

Das Fehlschlagen des vorgestellten Ansatzes in Kapitel 7 scheint vor allem auf einen Fehler in der Grundannahme und die schlechte Skalierbarkeit zurückzuführen. Um Letzteres zu verhindern, könnten in zukünftigen Ansätzen weitere Informationsquellen hinzugezogen werden, um “sinnvolle” von “sinnlosen” Wortpaaren zu trennen. Da davon auszugehen ist, dass in der Menge aller Möglichen Wortpaare nur ein sehr kleiner Prozentsatz tatsächlich Sinn ergeben dürfte, sollte dieses Vorgehen die totale Rechenzeit signifikant verringern.

Der der Hypothese zugrunde liegende logische Fehler scheint im Nachhinein offensichtlich. Jedoch war dieser schwer vorherzusehen, nachdem in vielen anderen Arbeiten die semantischen Eigenschaften von arithmetischen Rechnungen mit Wortvektoren so stark hervorgehoben werden. Zudem wird dieser Aspekt immer nur anhand von in einer offensichtlichen Beziehung zueinander stehenden Wortpaaren illustriert. Dadurch fiel dieses Versäumnis erst auf, als es aus zeitliche Gründen nicht mehr möglich war, im Rahmen dieser Abschlussarbeit andere Verfahren zu testen und zudem Versuche, auf Basis der vorliegenden Daten diesen Fehler zu korrigieren fehlgeschlagen waren.

### 9.3 Ausblick

Der vorliegende Ansatz bietet vielerlei Möglichkeiten zur Verbesserung. Im Folgenden sollen einige davon skizziert werden:

Zuallerst erscheint es sinnvoll, das Konzept von einem unüberwachten zu einem überwachten Ansatz zu ändern, sprich einer maschinellen Lernmethode mit Daten zu versorgen, denen bereits eine Klasse zugewiesen wurde. Beispielweise könnten eine sog. *Support Vector Machine* (SVM) oder ein anderer Lernalgorithmus ein zu einer bestimmten Relation gehöriges Wortpaar als Eingabe nehmen, um anhand dessen lernen zu unterscheiden, welche Differenzvektoren für eine spezifische Relationsart charakteristisch sind. Innerhalb des gesamten Forschungsbereichs des maschinellen Lernens ergeben sich so dutzende Möglichkeiten, sei es mit verschiedenen Features oder Algorithmen, z.B. SVMs mit Kernen oder Neuralen Netzwerken. Es könnte für jede Relation eine Klasse (plus ggf. eine Klasse für Wortpaare ohne Relation) definiert werden, denen später unklassifizierte Wortpaare zugeordnet werden.

Die durch auf dem Korpus erstellten Wortvektoren sind ein sehr aktuelles Forschungsthema. Verschiedene Ansätze wurden präsentiert, diese weiter zu verbessern, beispielweise auf Depenzgrammatik basierende Repräsentationen von (Levy und Goldberg, 2014). Es wäre interessant herauszufinden, inwiefern sich diese auf die Performanz eines Systems zur Relationsvorhersage auswirken.

## Anhang A

# Übersicht über die Parameter zum Trainieren der Wortvektoren

NAME	KORPUS	PREP	TRAINING	NEG	SAMPLING
<i>Mark I</i>	Decow	-	Skip-gram	5	$1^{-5}$
<i>Mark II</i>	Decow	-	Skip-gram	5	$1^{-4}$
<i>Mark III</i>	Decow	-	Skip-gram	5	$1^{-3}$
<i>Mark IV</i>	Decow	-	Skip-gram	5	0, 01
<i>Mark V</i>	Decow	-	Skip-gram	5	0, 1
<i>Mark VI</i>	Decow	-	Skip-gram	5	1
<i>Mark VII</i>	Decow	-	CBOW	5	$1^{-5}$
<i>Mark VIII</i>	Decow	-	CBOW	5	$1^{-4}$
<i>Mark IX</i>	Decow	-	CBOW	5	$1^{-3}$
<i>Mark X</i>	Decow	-	CBOW	5	0, 01
<i>Mark XI</i>	Decow	-	CBOW	5	0, 1
<i>Mark XII</i>	Decow	-	CBOW	5	1
<i>Mark XIII</i>	Decow	Lemmatisiert	Skip-gram	5	$1^{-5}$
<i>Mark XIV</i>	Decow	Lemmatisiert	Skip-gram	5	$1^{-4}$
<i>Mark XV</i>	Decow	Lemmatisiert	Skip-gram	5	$1^{-3}$
<i>Mark XVI</i>	Decow	Lemmatisiert	Skip-gram	5	0, 01
<i>Mark XVII</i>	Decow	Lemmatisiert	Skip-gram	5	0, 1
<i>Mark XVIII</i>	Decow	Lemmatisiert	Skip-gram	5	1
<i>Mark XIX</i>	Decow	Lemmatisiert	CBOW	5	$1^{-5}$
<i>Mark XX</i>	Decow	Lemmatisiert	CBOW	5	$1^{-4}$
<i>Mark XXI</i>	Decow	Lemmatisiert	CBOW	5	$1^{-3}$
<i>Mark XXII</i>	Decow	Lemmatisiert	CBOW	5	0, 01
<i>Mark XXIII</i>	Decow	Lemmatisiert	CBOW	5	0, 1
<i>Mark XXIV</i>	Decow	Lemmatisiert	CBOW	5	1

**Abbildung A.1:** Quelle und Trainingsparameter für verschiedenen Sets von Wortvektoren. PREP = Ggf. Aufbereitung des Korpus vor dem Training; TRAINING = Verwendete Trainingsmethode; NEG = Anzahl der Negativbeispiele beim Training; SAMPLING = Ausmaß des Downsamplings häufiger Wörter.





## Anhang B

# Evaluationen der Wortvektoren

Evaluationsergebnisse bei Wortähnlichkeit und Analogien für die verschiedenen Datensets. Für weitere Informationen über die Grundlage der Vektoren siehe Appendix A. Wörter außerhalb des Vokabulars wurden entweder als Fehler gerechnet, oder werden, falls anders nicht möglich, als Zahl im Index in runden Klammern angegeben.

Dataset	Wortähnlichkeit ( $\rho \in [-1, 1]$ )				Analogien (in %)	
	WORTPAARE65	WORTPAARE222	WORTPAARE350	SCHM280	GOOGLE	SEMR
Mark I	<b>-0,8096</b>	<b>-0,4640</b> <sub>(13)</sub>	<b>-0,7302</b> <sub>(13)</sub>	<b>-0,7094</b> <sub>(2)</sub>	<b>44,56</b>	1,71
Mark II	-0,7856	-0,4409 <sub>(13)</sub>	-0,7156 <sub>(13)</sub>	-0,6928 <sub>(2)</sub>	40,37	1,83
Mark III	-0,7718	-0,4242 <sub>(13)</sub>	-0,6886 <sub>(13)</sub>	-0,6778 <sub>(2)</sub>	27,42	1,87
Mark IV	-0,7681	-0,3902 <sub>(13)</sub>	-0,6834 <sub>(13)</sub>	-0,6545 <sub>(2)</sub>	25,48	1,83
Mark V	-0,7725	-0,3889 <sub>(13)</sub>	-0,6738 <sub>(13)</sub>	-0,6529 <sub>(2)</sub>	25,54	1,67
Mark VI	-0,7697	-0,3907 <sub>(13)</sub>	-0,6784 <sub>(13)</sub>	-0,6541 <sub>(2)</sub>	25,52	1,46
Mark VII	-0,7255	-0,4198 <sub>(13)</sub>	-0,6924 <sub>(13)</sub>	-0,6361 <sub>(2)</sub>	30,60	1,50
Mark VIII	-0,6149	-0,4321 <sub>(13)</sub>	-0,6530 <sub>(13)</sub>	-0,5983 <sub>(2)</sub>	26,98	1,83
Mark IX	-0,6784	-0,4288 <sub>(13)</sub>	-0,6090 <sub>(13)</sub>	-0,5553 <sub>(2)</sub>	22,26	1,62
Mark X	-0,5949	-0,4185 <sub>(13)</sub>	-0,5791 <sub>(13)</sub>	-0,5003 <sub>(2)</sub>	19,22	1,22
Mark XI	-0,5890	-0,4245 <sub>(13)</sub>	-0,5700 <sub>(13)</sub>	-0,4993 <sub>(2)</sub>	18,60	1,38
Mark XII	-0,5874	-0,4251 <sub>(13)</sub>	-0,5706 <sub>(13)</sub>	-0,5021 <sub>(2)</sub>	8,62	1,50
Mark XIII	<b>-0,8247</b> <sub>(1)</sub>	<b>-0,5066</b> <sub>(102)</sub>	<b>-0,7494</b> <sub>(132)</sub>	-0,7097 <sub>(48)</sub>	15,51	<b>3,01</b>
Mark XIV	-0,8106 <sub>(1)</sub>	-0,4953 <sub>(102)</sub>	-0,7362 <sub>(132)</sub>	<b>-0,7205</b> <sub>(48)</sub>	14,51	2,56
Mark XV	-0,7786 <sub>(1)</sub>	-0,4991 <sub>(102)</sub>	-0,7136 <sub>(132)</sub>	-0,6956 <sub>(48)</sub>	13,15	2,44
Mark XVI	-0,7576 <sub>(1)</sub>	-0,4991 <sub>(102)</sub>	-0,6990 <sub>(132)</sub>	-0,6702 <sub>(48)</sub>	11,76	2,56
Mark XVII	-0,7578 <sub>(1)</sub>	-0,5074 <sub>(102)</sub>	-0,6986 <sub>(132)</sub>	-0,6638 <sub>(48)</sub>	11,41	2,80
Mark XVIII	-0,7551 <sub>(1)</sub>	-0,5102 <sub>(102)</sub>	-0,6981 <sub>(132)</sub>	-0,6715 <sub>(48)</sub>	11,38	<b>3,01</b>
Mark XIX	-0,7589 <sub>(1)</sub>	-0,4899 <sub>(102)</sub>	-0,7476 <sub>(132)</sub>	-0,6849 <sub>(48)</sub>	14,41	2,23
Mark XX	-0,7519 <sub>(1)</sub>	-0,5144 <sub>(102)</sub>	-0,7239 <sub>(132)</sub>	-0,6731 <sub>(48)</sub>	12,82	2,15
Mark XXI	-0,7188 <sub>(1)</sub>	-0,5371 <sub>(102)</sub>	-0,6875 <sub>(132)</sub>	-0,6520 <sub>(48)</sub>	9,68	1,75
Mark XXII	-0,6926 <sub>(1)</sub>	<b>-0,5377</b> <sub>(102)</sub>	-0,6429 <sub>(132)</sub>	-0,6138 <sub>(48)</sub>	6,85	1,71
Mark XXIII	-0,6851 <sub>(1)</sub>	-0,5373 <sub>(102)</sub>	-0,6359 <sub>(132)</sub>	-0,5882 <sub>(48)</sub>	6,11	1,95
Mark XXIV	-0,6913 <sub>(1)</sub>	-0,5349 <sub>(102)</sub>	-0,6369 <sub>(132)</sub>	-0,5930 <sub>(48)</sub>	6,15	2,07



# Literatur

- Baroni, Marco, Georgiana Dinu und Germán Kruszewski (2014). „Don’t count, predict! A systematic comparison of context-counting vs. context-predicting semantic vectors.“ In: *ACL (1)*, S. 238–247.
- Bengio, Yoshua et al. (2006). „Neural probabilistic language models“. In: *Innovations in Machine Learning*. Springer, S. 137–186.
- Bordes, Antoine et al. (2011). „Learning structured embeddings of knowledge bases“. In: *Conference on Artificial Intelligence*. EPFL-CONF-192344.
- Bordes, Antoine et al. (2013). „Translating embeddings for modeling multi-relational data“. In: *Advances in Neural Information Processing Systems*, S. 2787–2795.
- Collobert, Ronan et al. (2011). „Natural language processing (almost) from scratch“. In: *The Journal of Machine Learning Research* 12, S. 2493–2537.
- Goldberg, Yoav (2015). „A Primer on Neural Network Models for Natural Language Processing“. In: *CoRR* abs/1510.00726. URL: <http://arxiv.org/abs/1510.00726>.
- Harris, Zellig S (1954). „Distributional structure“. In: *Word* 10.2-3, S. 146–162.
- Hendrickx, Iris et al. (2009). „Semeval-2010 task 8: Multi-way classification of semantic relations between pairs of nominals“. In: *Proceedings of the Workshop on Semantic Evaluations: Recent Achievements and Future Directions*. Association for Computational Linguistics, S. 94–99.
- Köper, Maximilian, Christian Scheible und Sabine Schulte im Walde (2015). „Multilingual reliability and “semantic” structure of continuous word spaces“. In: *IWCS 2015*, S. 40.
- Levy, Omer und Yoav Goldberg (2014). „Dependency-Based Word Embeddings“. In: *ACL (2)*, S. 302–308.
- Levy, Omer, Yoav Goldberg und Ido Dagan (2015). „Improving distributional similarity with lessons learned from word embeddings“. In: *Transactions of the Association for Computational Linguistics* 3, S. 211–225.
- Lin, Yankai et al. (2015). „Learning Entity and Relation Embeddings for Knowledge Graph Completion“. In: *AAAI*, S. 2181–2187.
- Mikolov, Tomas et al. (2013). „Efficient estimation of word representations in vector space“. In: *arXiv preprint arXiv:1301.3781*.
- Rong, Xin (2014). „word2vec parameter learning explained“. In: *arXiv preprint arXiv:1411.2738*.
- Rubenstein, Herbert und John B Goodenough (1965). „Contextual correlates of synonymy“. In: *Communications of the ACM* 8.10, S. 627–633.
- Schäfer, Roland und Felix Bildhauer (2012). „Building Large Corpora from the Web Using a New Efficient Tool Chain“. In: *LREC*, S. 486–493.
- Wang, Zhen et al. (2014). „Knowledge Graph Embedding by Translating on Hyperplanes“. In: *AAAI*. Citeseer, S. 1112–1119.
- Zou, Will Y et al. (2013). „Bilingual Word Embeddings for Phrase-Based Machine Translation“. In: *EMNLP*, S. 1393–1398.